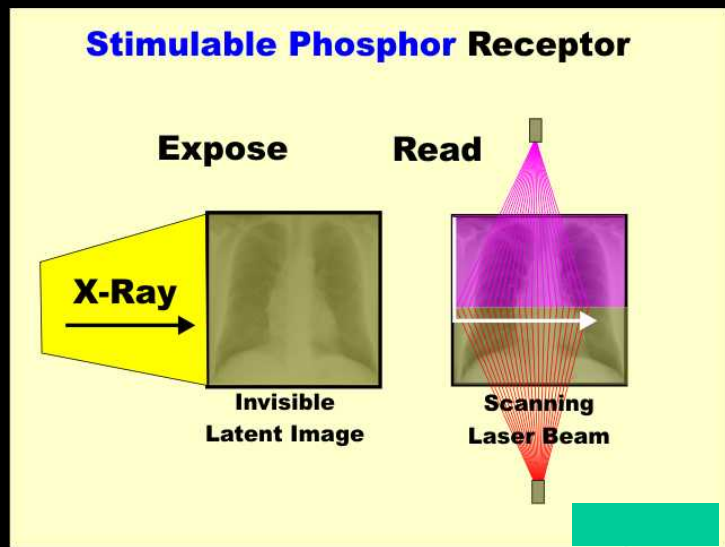


Le thorax chez le patient alité







Bobbys

- En position couchée ou semi-assise
- Tube à environ 1m
- Inspiration si possible
- Synchrone au respirateur
- Cassette sensible
- 73 Kv 1.6 mAs
- Expérience du technicien



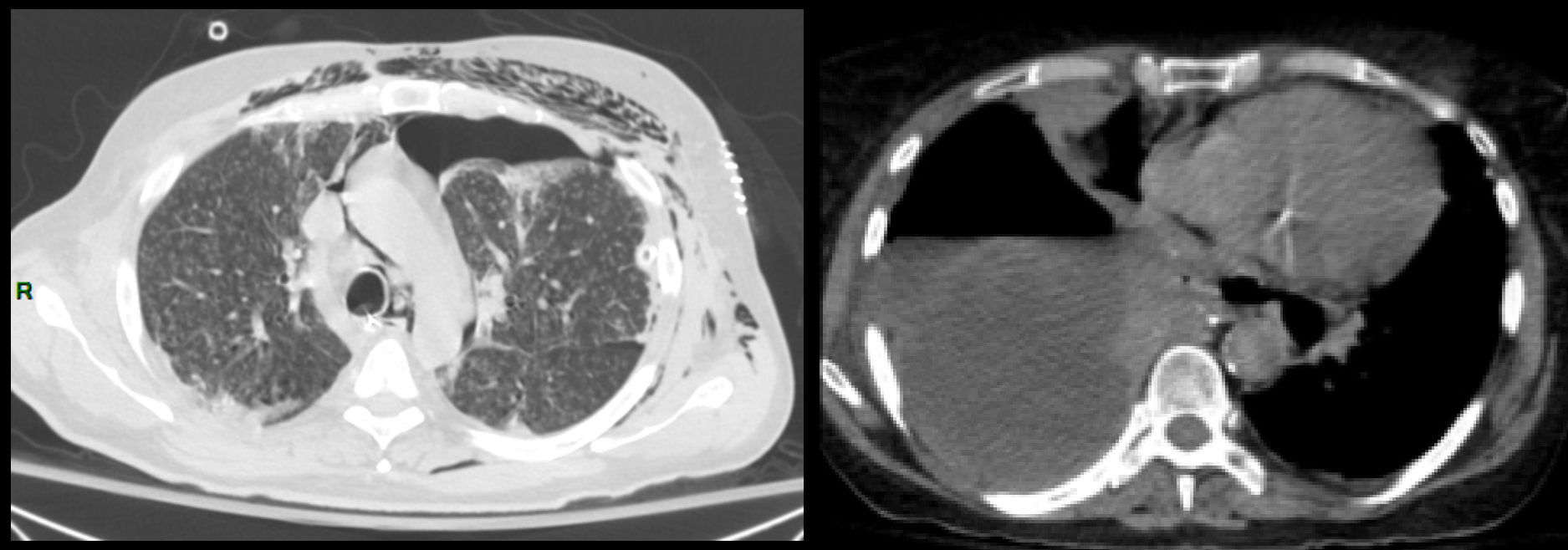
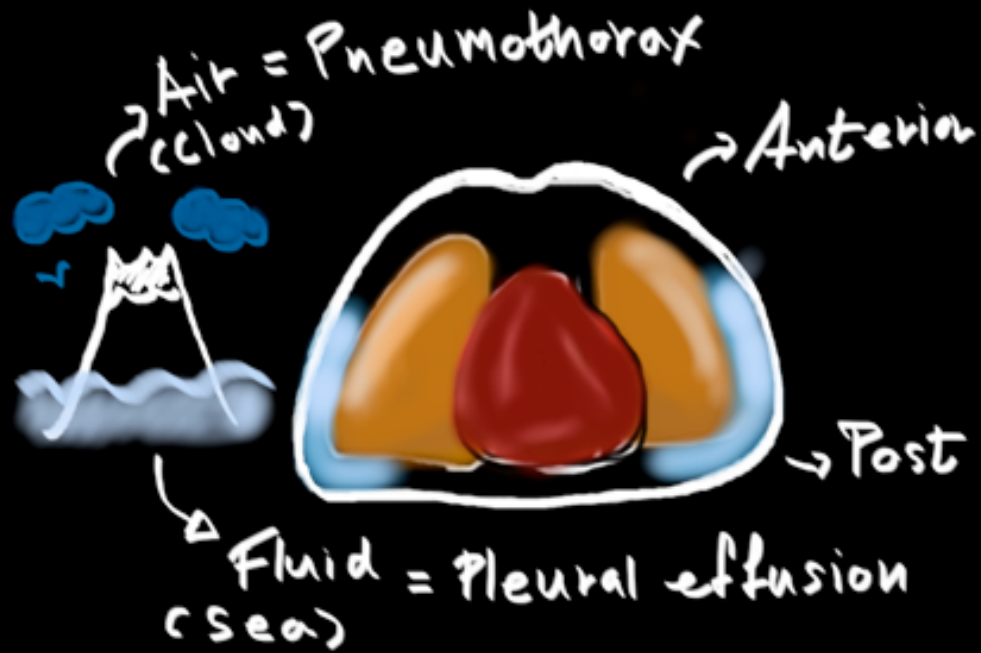
Assis

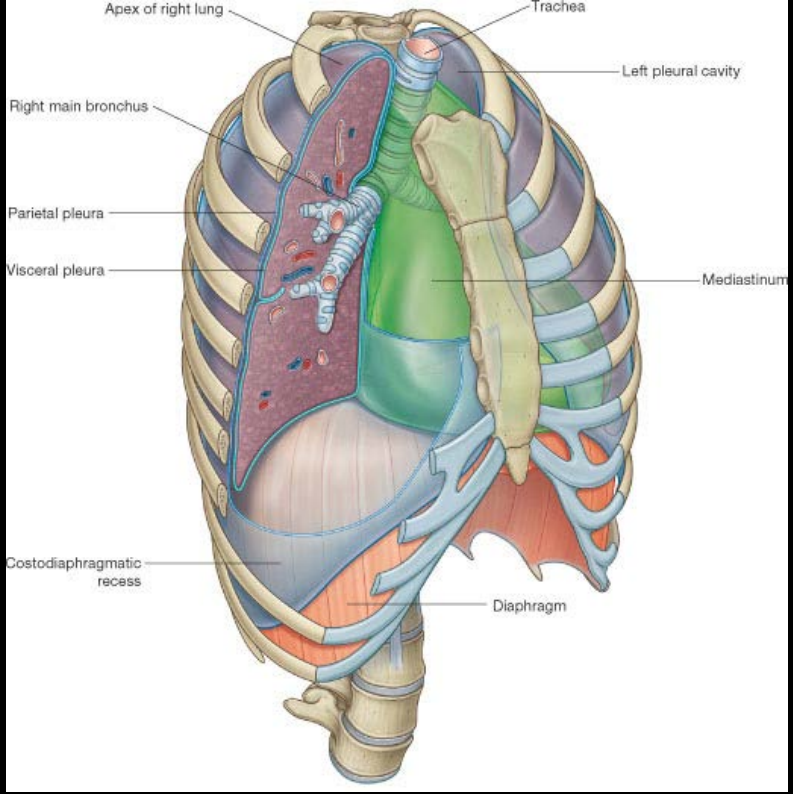


Couché

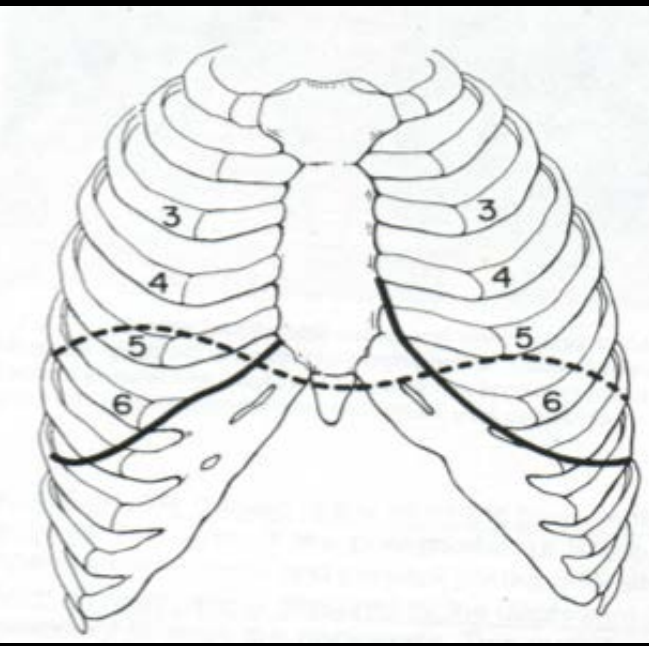
Modifications du thorax en position couchée

- Coeur apparaît plus large
- Coupoles ascensionnées
- Côtes horizontalisées
- Arcs antérieurs agrandis
- Epanchement se répartit dans les parties déclives/ air se collecte dans les parties ant.





PNO



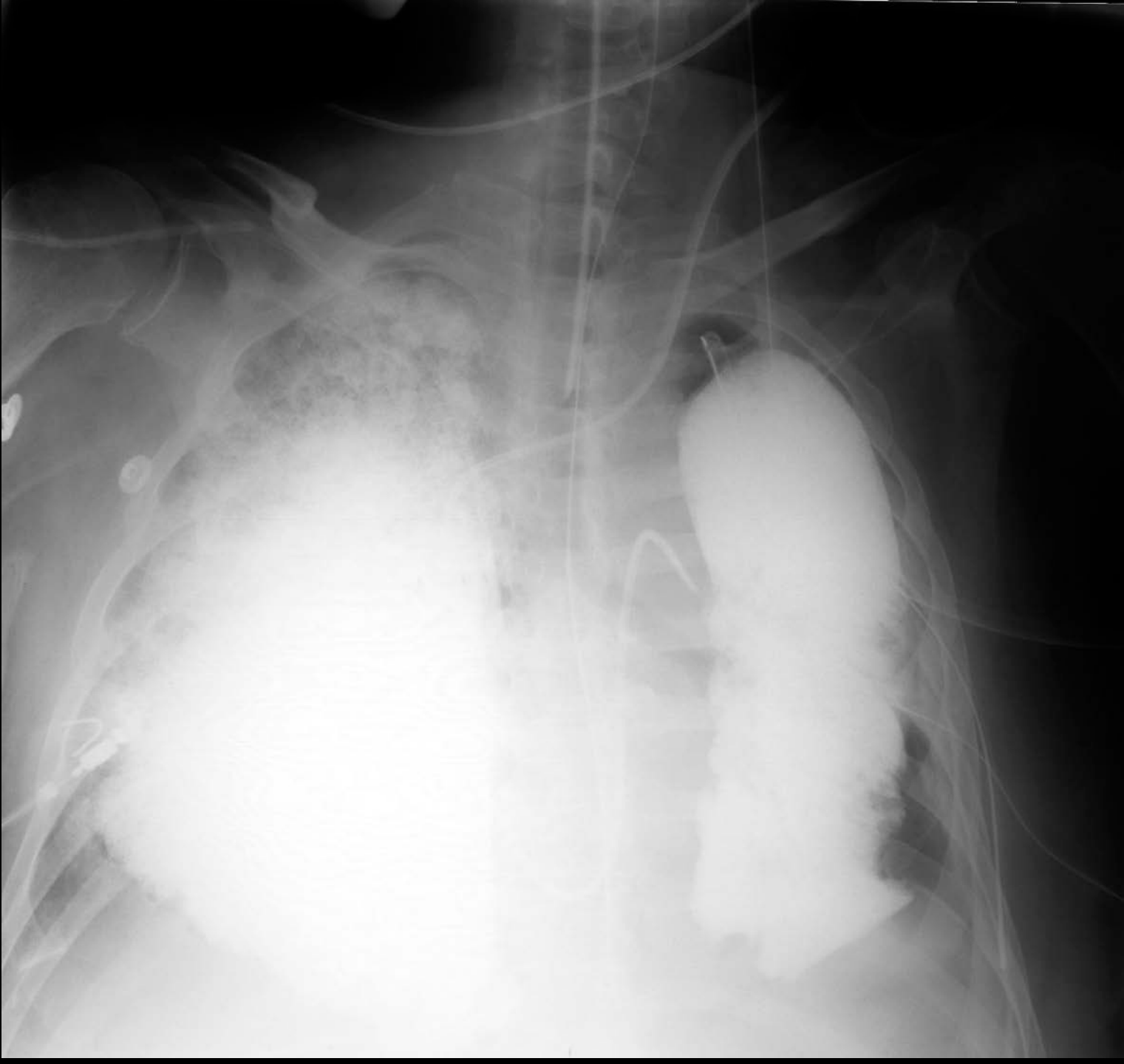
Critères de qualité

- Thorax bien centré
- Bonne dose
- Patient de face
- Inspiration maximale
- Cliché net, pas flou
- Rayon perpendiculaire, éviter le Fleischner

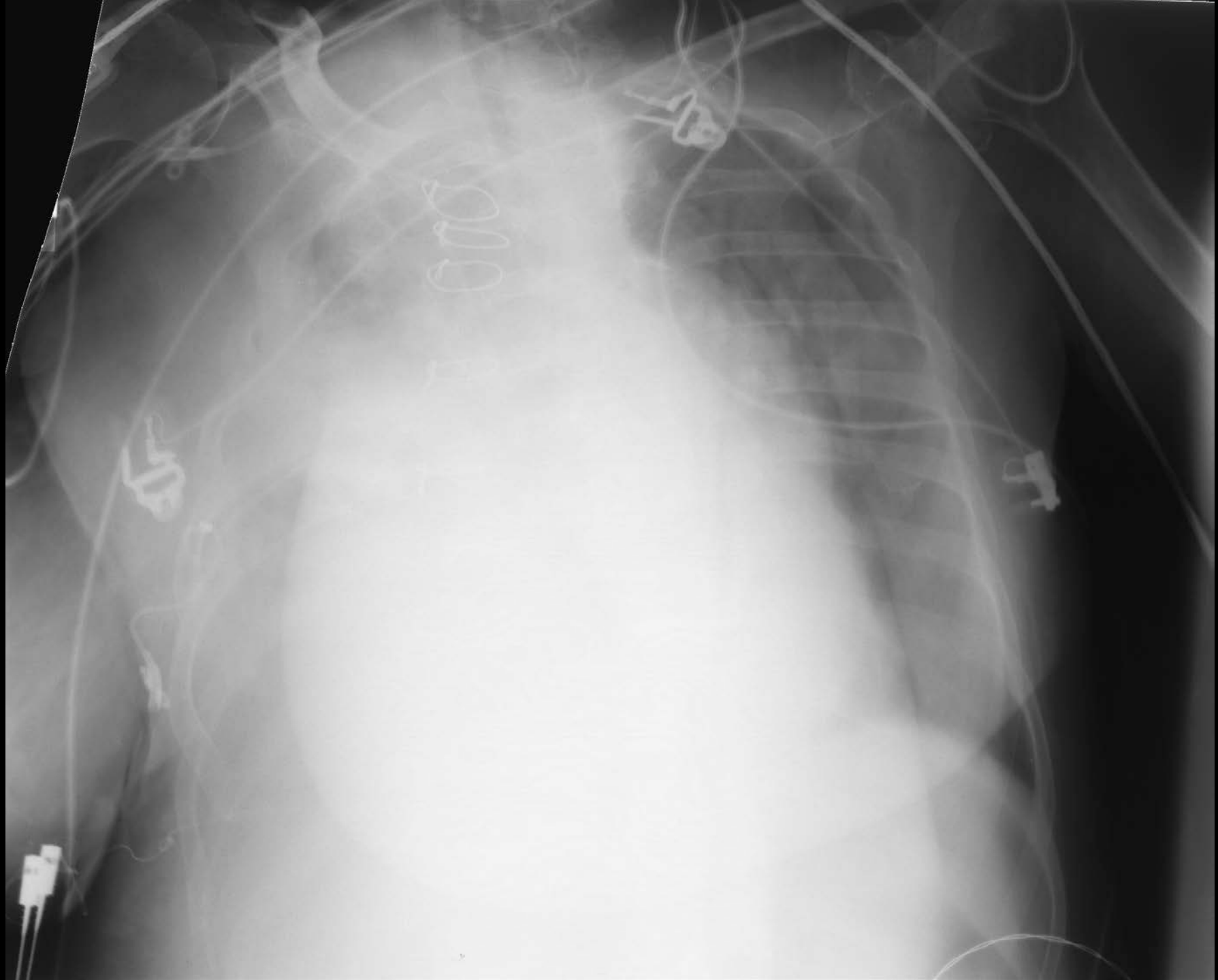
Conseils et précautions

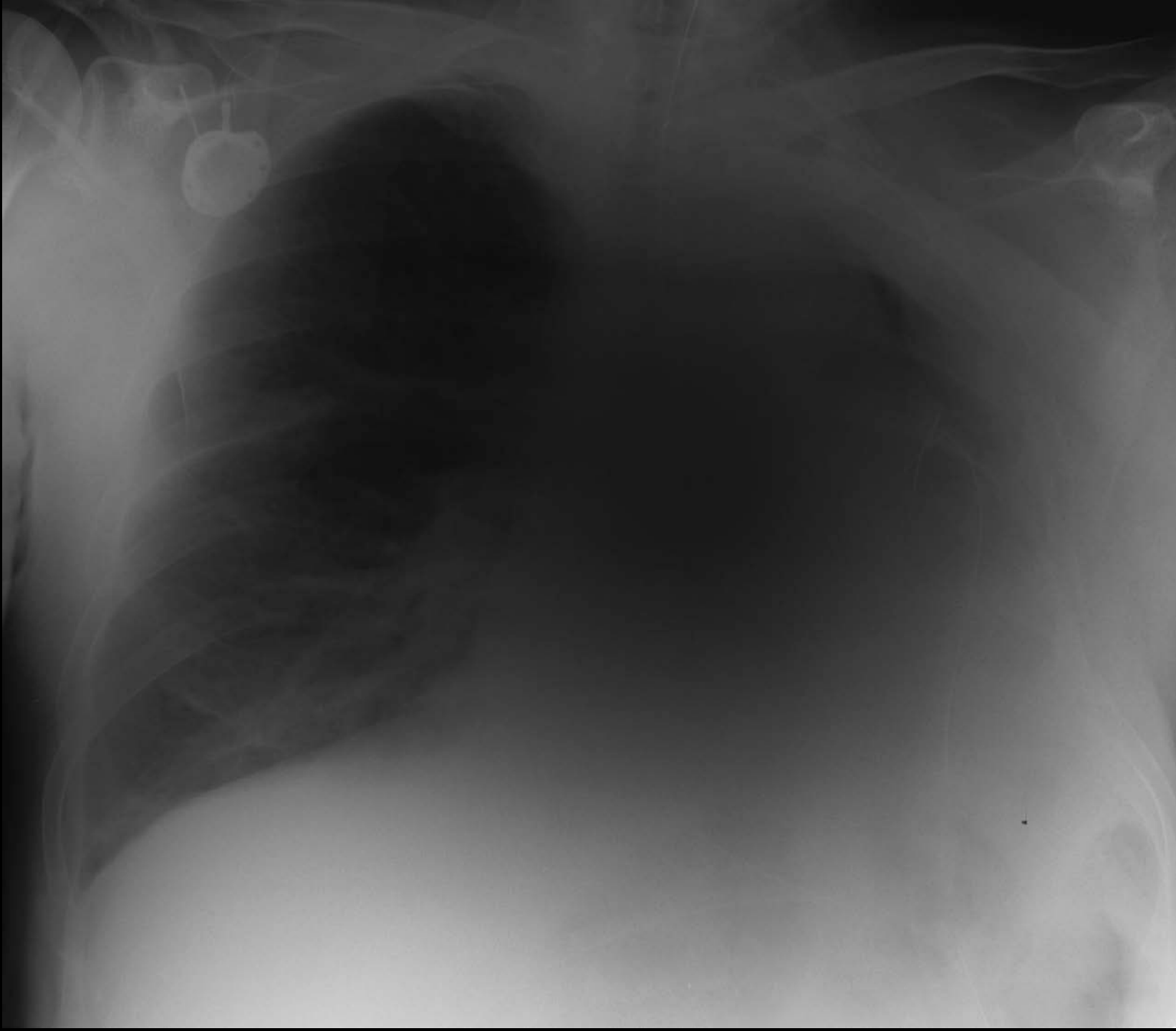
- Le nom doit toujours être à droite du patient
- Nom correct
- Date correcte
- Hygiène (laver les mains/protection des cassettes)
- Tenir une liste ou afficher au lit du patient la dose idéale pour un patient donné









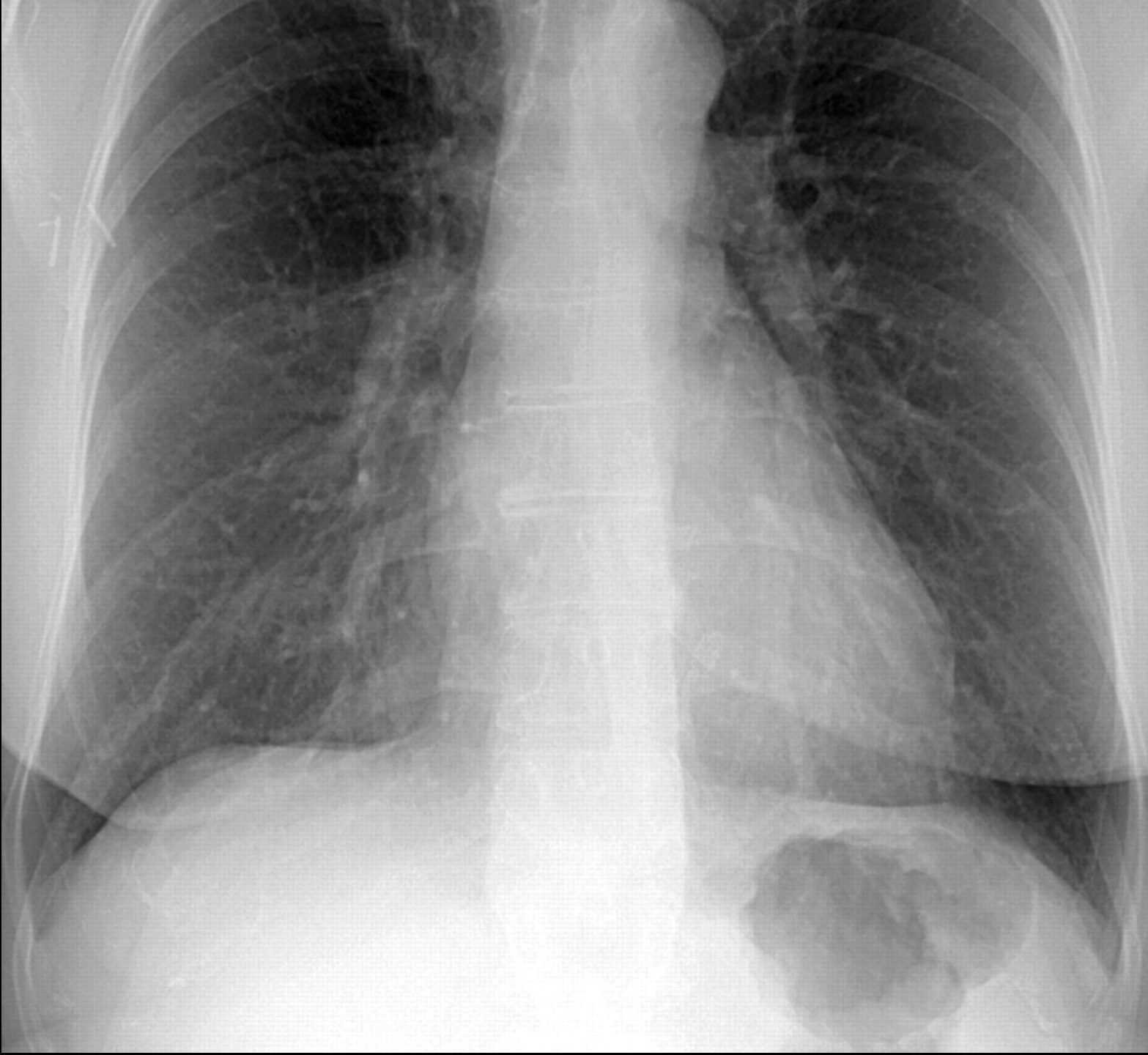


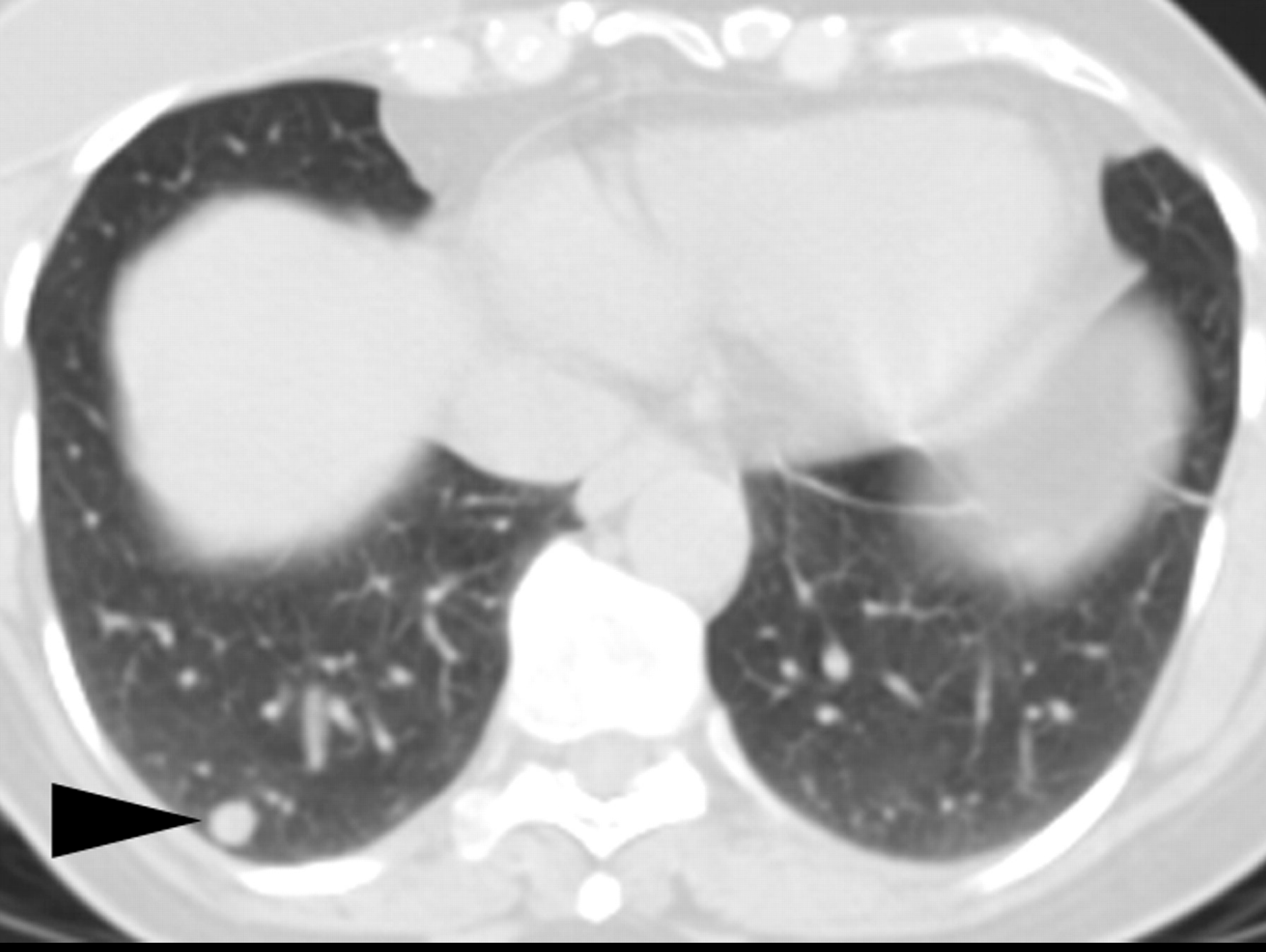
30" exposition.

Le thorax numérique

Plan

- Nouveaux détecteurs
 - Radiographie analogique
 - Radiographie numérique
 - CR
 - DéTECTEURS plans
- Post-processing
- Développements en affichage
- Nouvelles applications





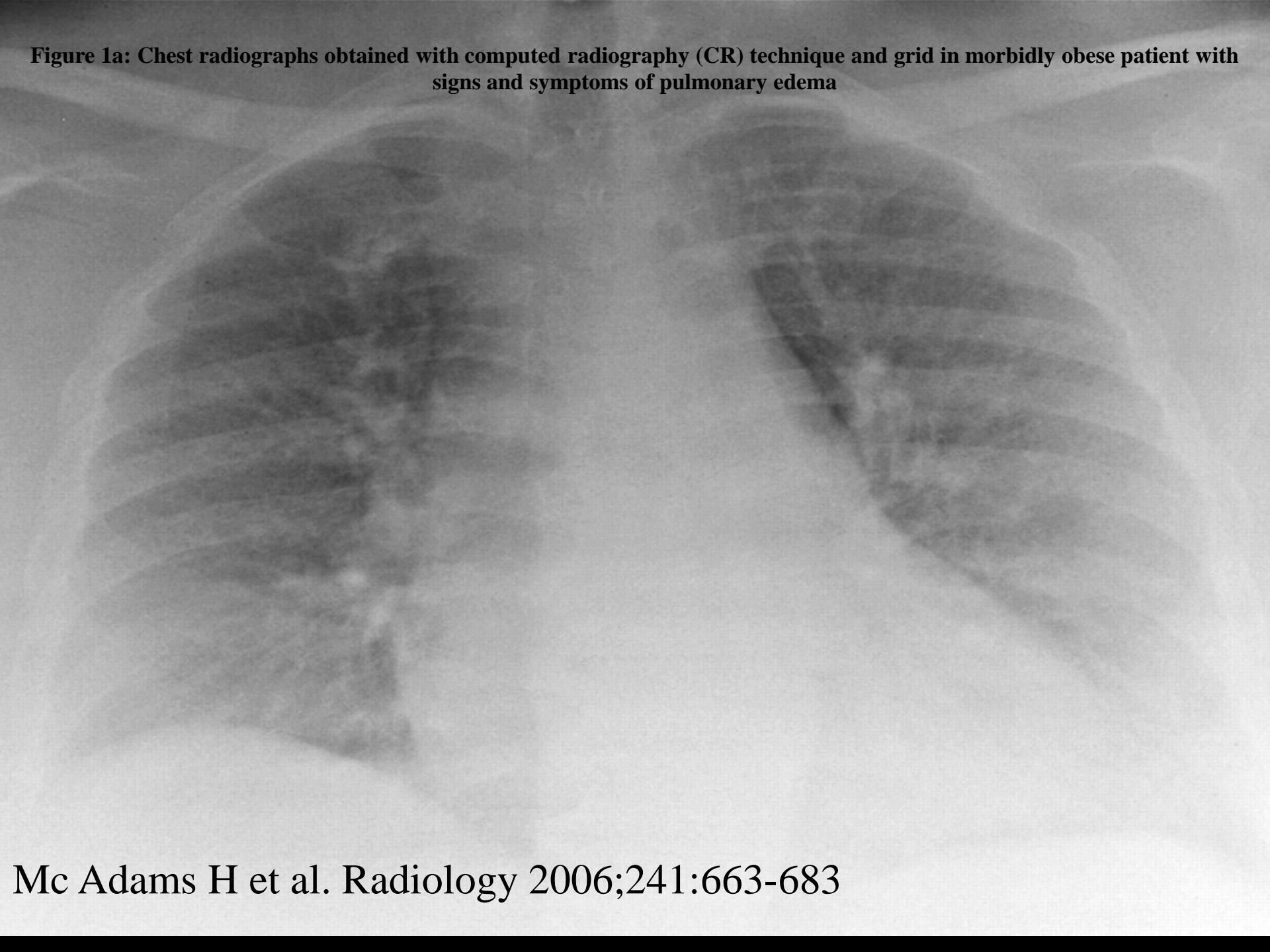
Radiographie digitale

- Technologie au Phosphore (transportable) (CR)
 - Transformation du signal lumineux d'un écran photo-stimulable en un signal numérique
- DéTECTEURS plans (fixe)
 - Silicium amorphe + iodure de césium
 - Taille du pixel: 143 μ
 - Images de 43 x 43 cm

Système CR

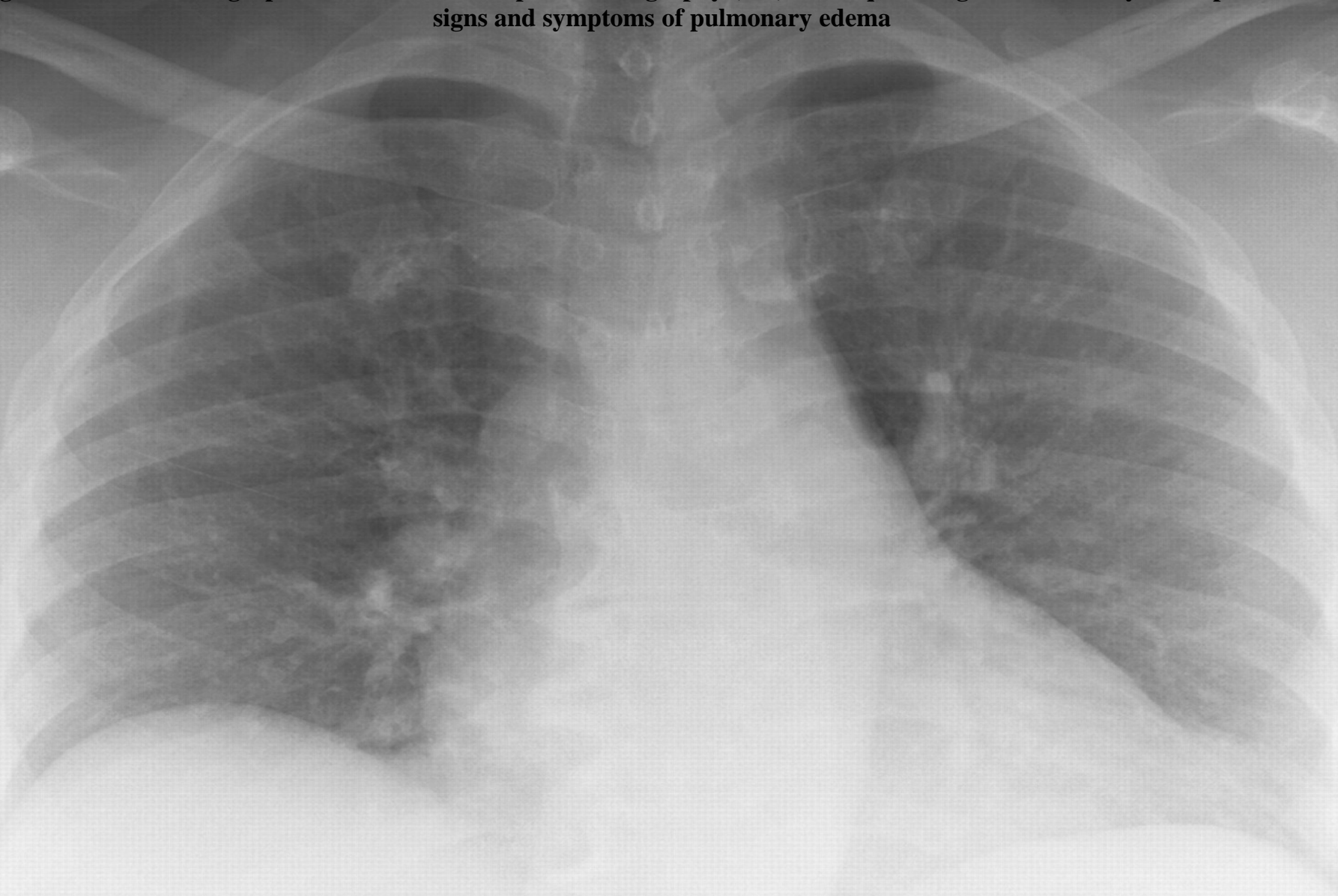
- Computed radiography
- Technologie la plus répandue
- Phosphore photo-stimulable (phosphore barium halides)
- Technologie moins coûteuse
- Qualité d'imagerie < technologie détecteurs plans

Figure 1a: Chest radiographs obtained with computed radiography (CR) technique and grid in morbidly obese patient with signs and symptoms of pulmonary edema



Mc Adams H et al. Radiology 2006;241:663-683

Figure 1b: Chest radiographs obtained with computed radiography (CR) technique and grid in morbidly obese patient with signs and symptoms of pulmonary edema



Avantages du système CR

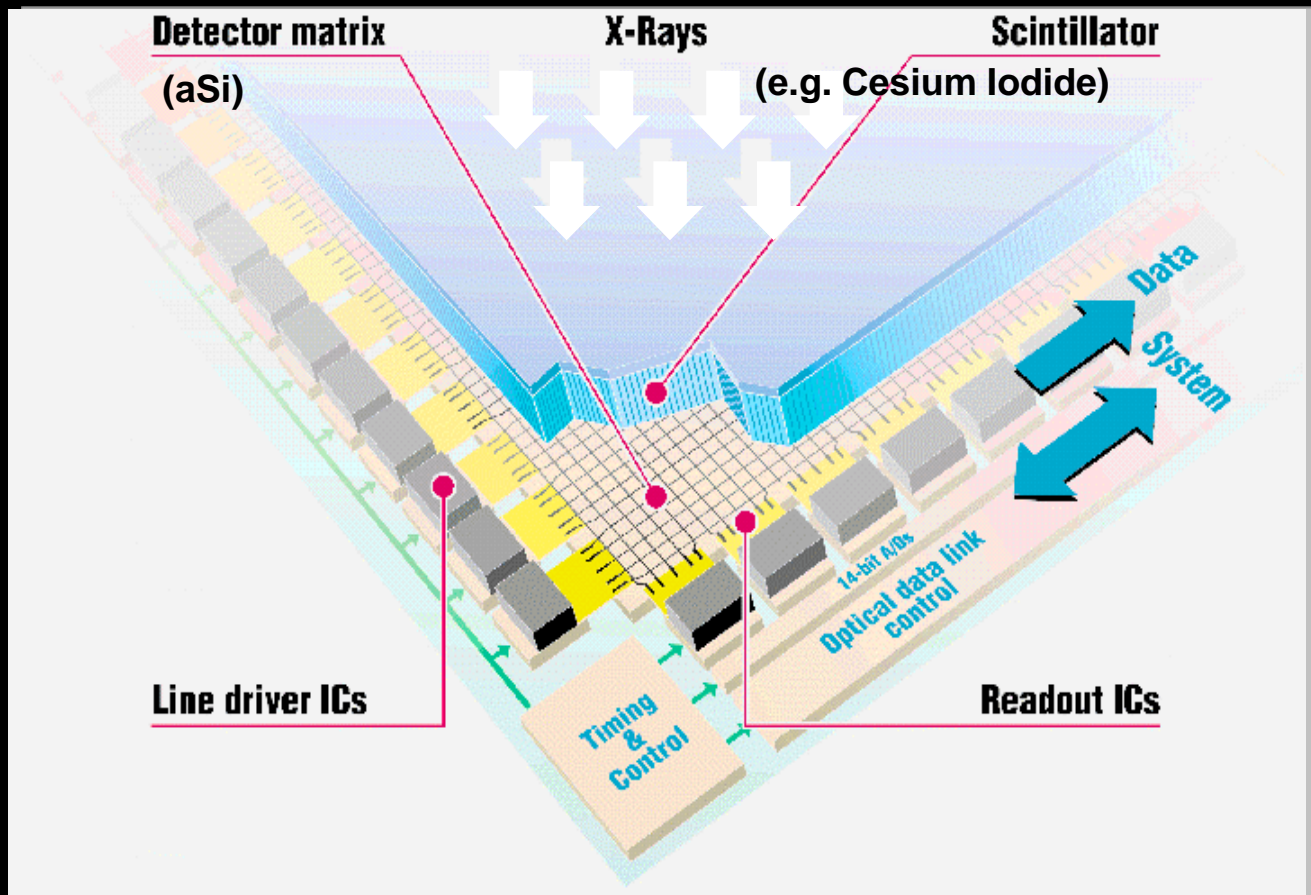
- Taille identique aux cassettes traditionnelles
- Portable: au lit du patient
- 1 seul lecteur central pour de multiples cassettes

DéTECTEURS plans

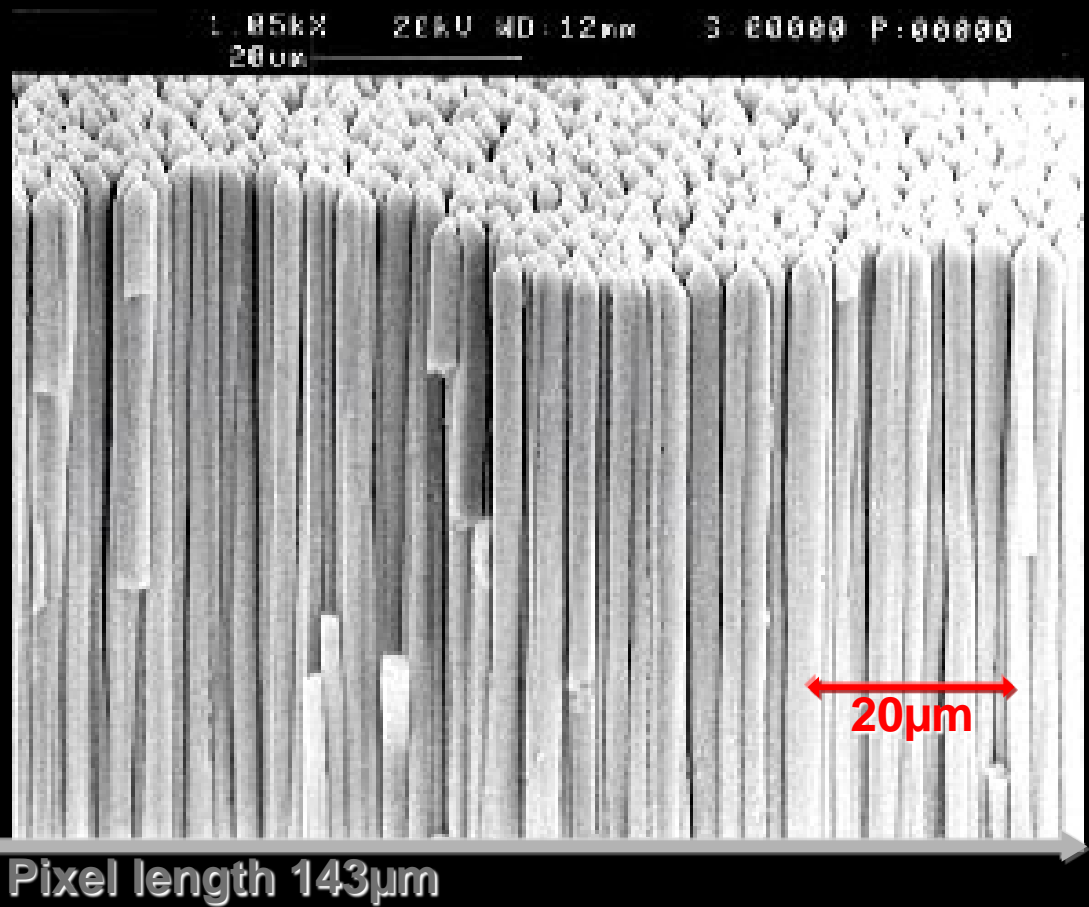
- Silicium amorphe
- Thin-film transistors (tft)
- 2 types de détecteurs plans
 - Indirects: couche photoconductrice, iodure de Césium
 - Directs: Sélénium amorphe
- Après exposition: conversion pixel par pixel des informations

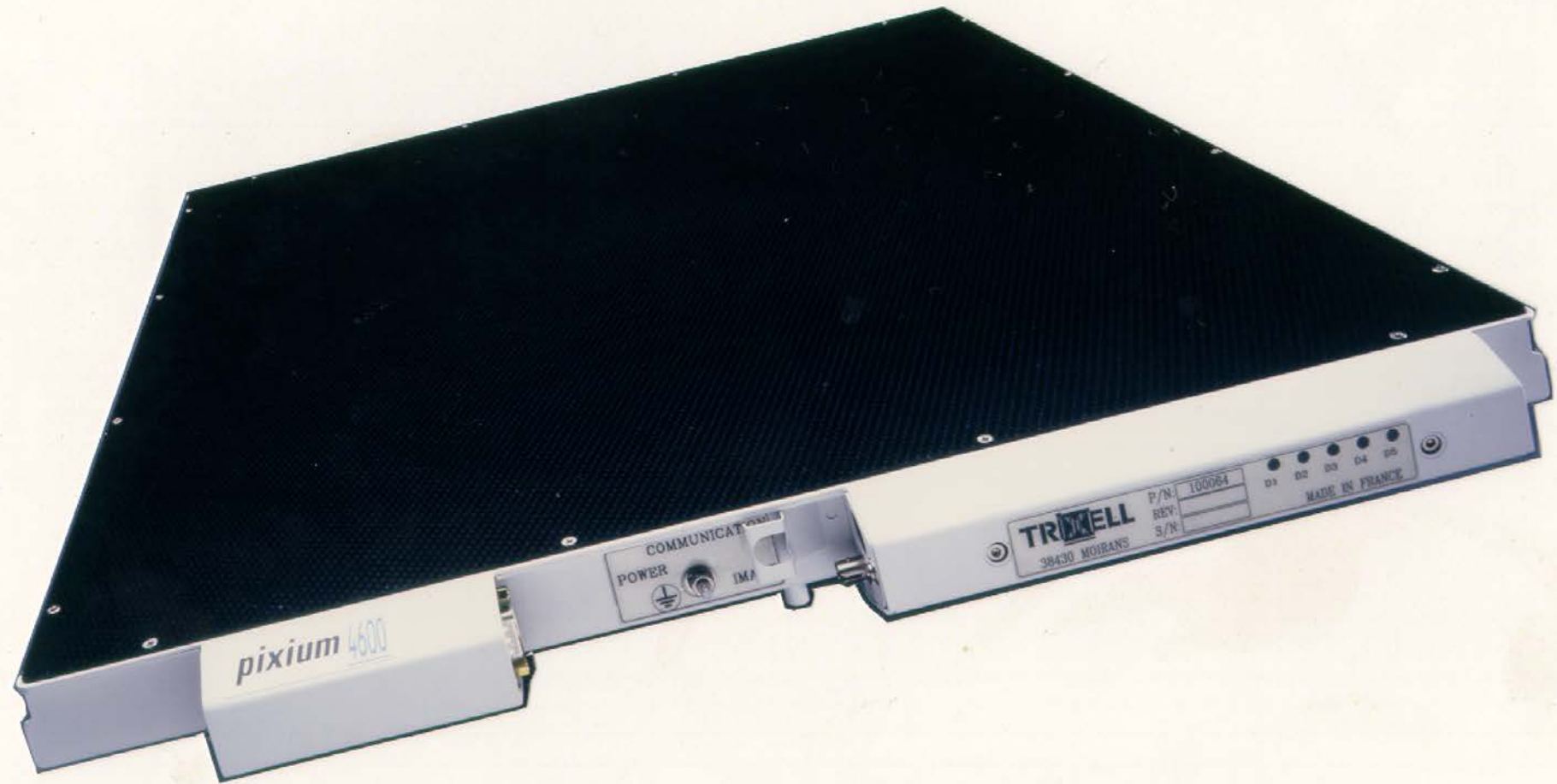


Détecteurs plats



**Needle -
structured
CsJ secures
high
detected
quantum
efficiency**





Avantages des capteurs plans

- Haute résolution en contraste
- Résolution spatiale détecteurs plans supérieure au Phosphore
- Diminution de la dose au patient
- Plus de cassettes
- Rapidité
- Diminution des examens à refaire, baisse du coût des films (petit format, CD Rom)
- Transmission des données
- CAD

Traitements des images

- Présentation optimale des images
 - Preprocessing
 - Post-processing
- Affichage des images
- Permettre une aide à la détection
 - Image de soustraction en double énergie
 - Image de soustraction temporelle
 - Tomosynthèse digitale
- CAD

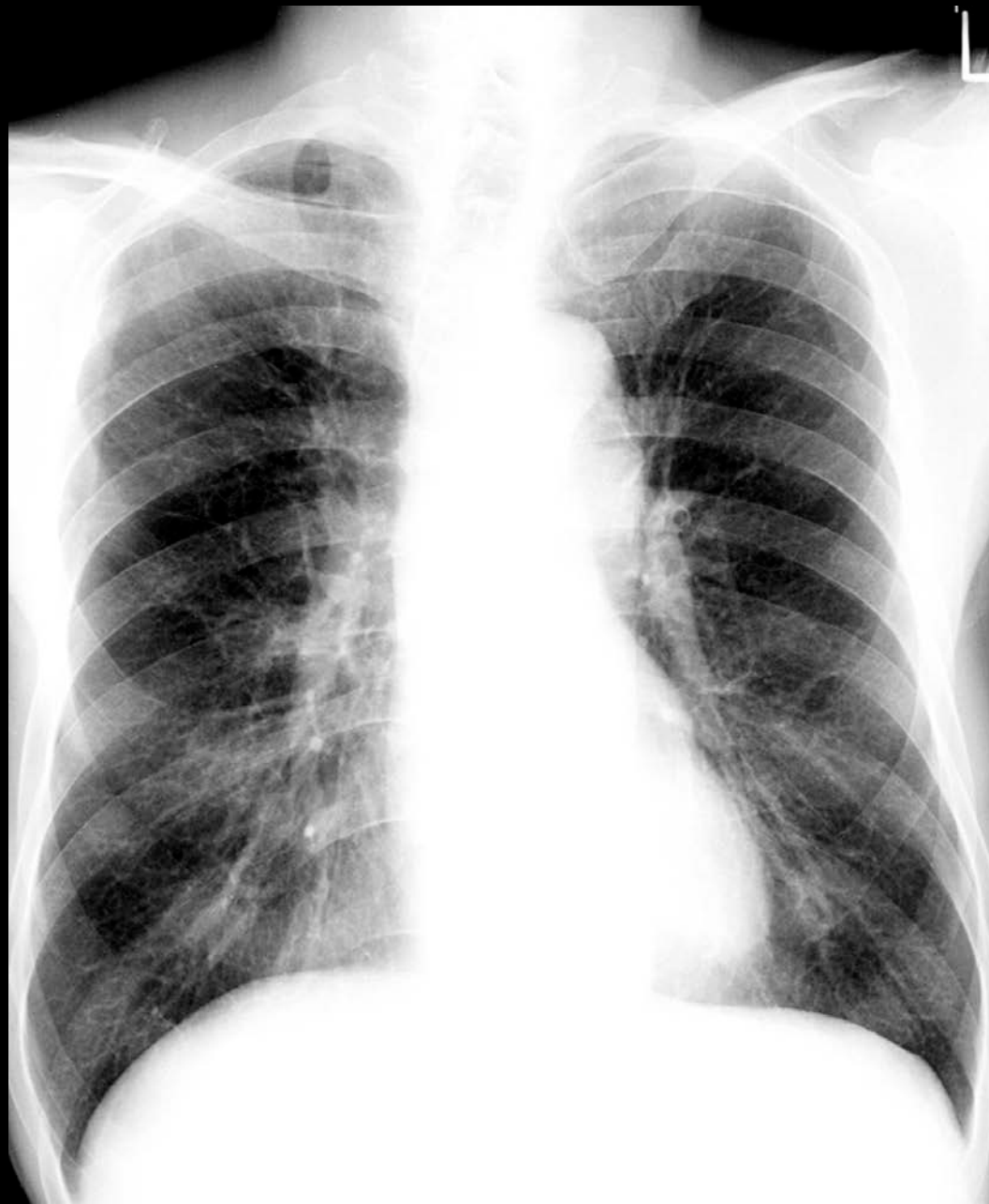
Pre-processing

- Correction
 - Correction des anomalies des détecteurs au niveau des données brutes
 - Non uniformité, pixels inactifs, variation de courant
 - Calibration
- Etalonnage
 - Analyse d'histogramme et sélection des valeurs utilisés dans le traitement de l'image

Post processing

- Processing en niveau de gris
 - Même apparence que l'image analogique
- Rehaussement des bords
 - Rehaussement des détails fins
 - Modification de la fréquence spatiale
- Processing multifréquence
 - Manipulation complexe du spectre des fréquences
 - Accentuation des contrastes dans une région en gardant toutes les informations dans une autre région

Figure 6a: Effects of various (a-c) gray-scale and (d-f) equalization postprocessing schemes on appearance of a posteroanterior chest radiograph



6b: Effects of various (a-c) gray-scale and (d-f) equalization postprocessing schemes on appearance of a posteroanterior chest radiograph

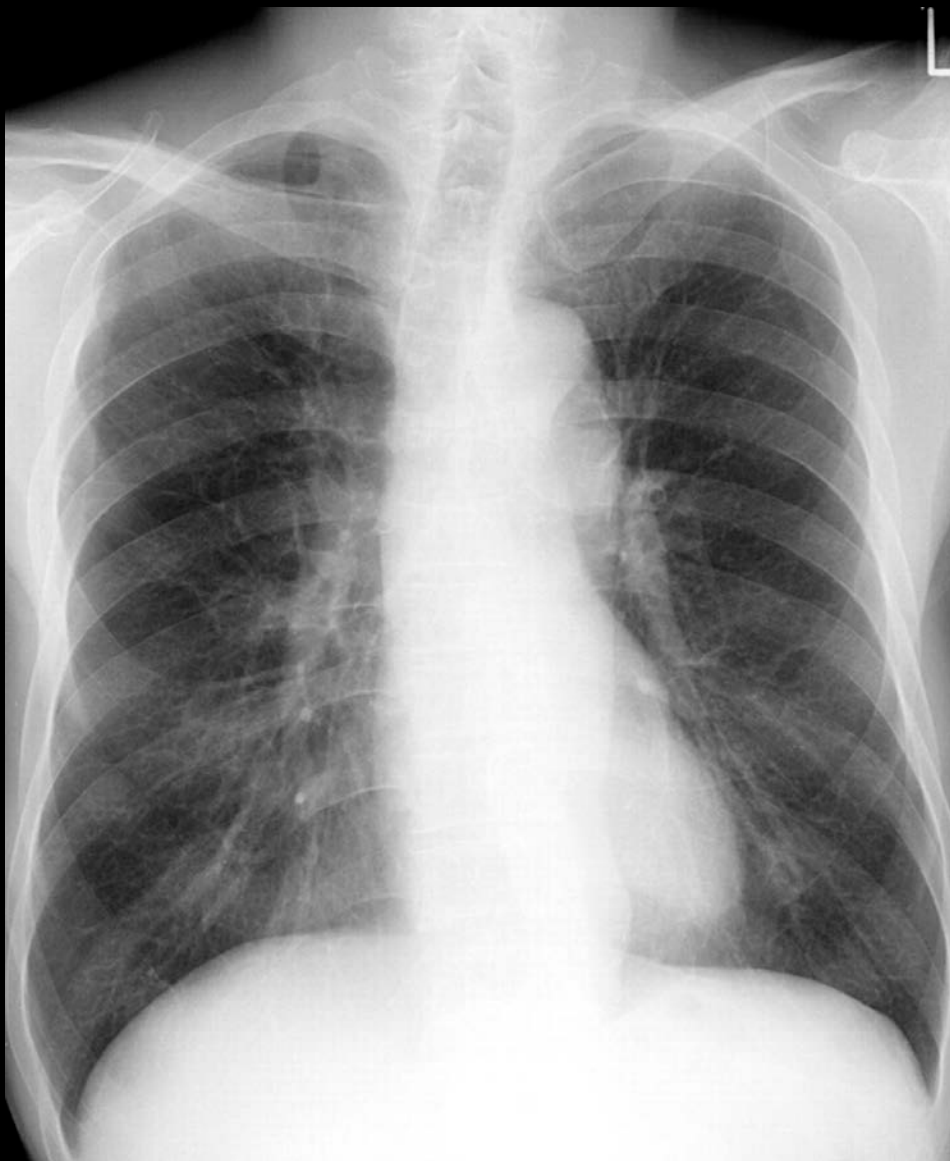


Figure 6c: Effects of various (a-c) gray-scale and (d-f) equalization postprocessing schemes on appearance of a posteroanterior chest radiograph

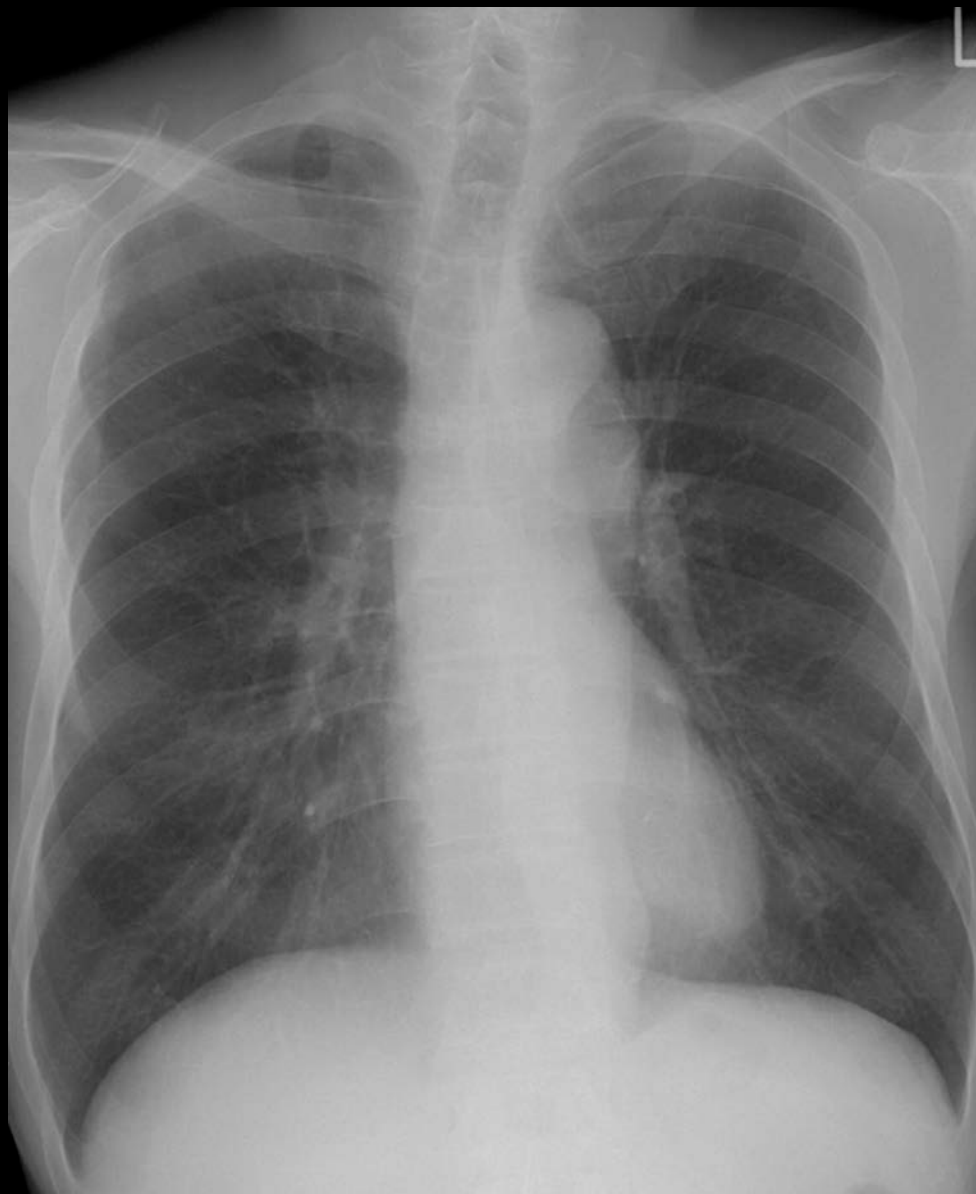


Figure 6d: Effects of various (a-c) gray-scale and (d-f) equalization postprocessing schemes on appearance of a posteroanterior chest radiograph

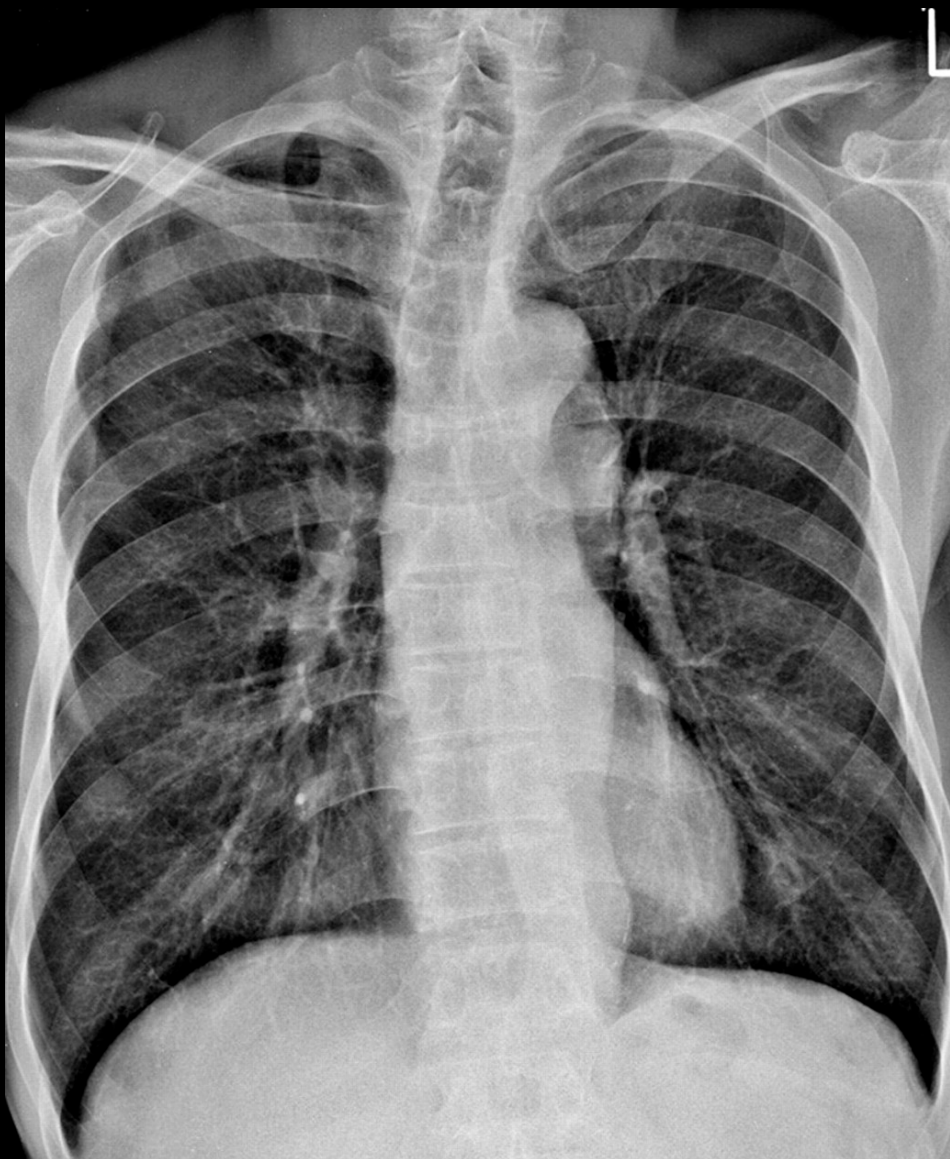


Figure 6e: Effects of various (a-c) gray-scale and (d-f) equalization postprocessing schemes on appearance of a posteroanterior chest radiograph

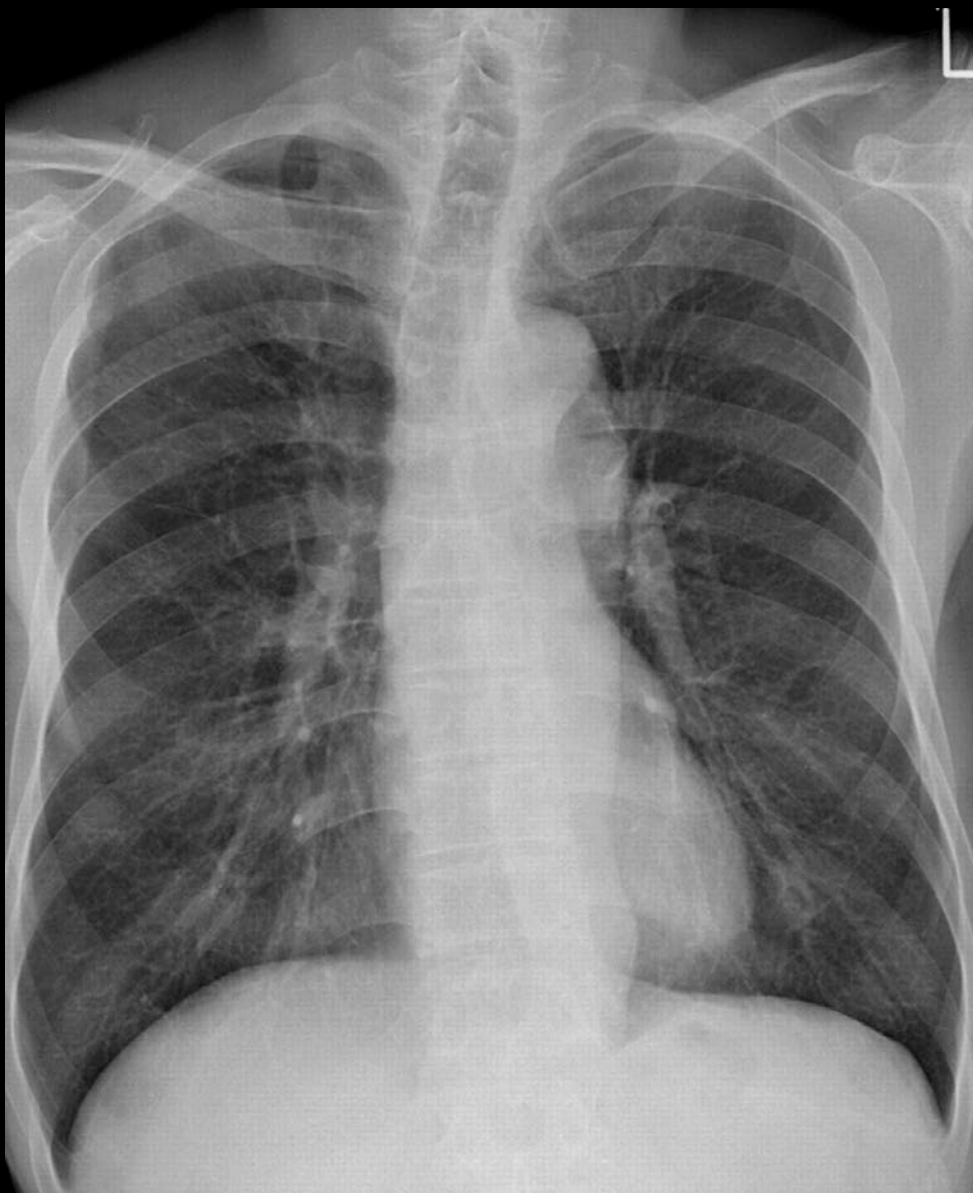


Figure 6f: Effects of various (a-c) gray-scale and (d-f) equalization postprocessing schemes on appearance of a posteroanterior chest radiograph



Display

- Disparition film radiographique
- Ecrans à cristaux liquides
 - Résolution accrue
 - Diminution du poids
 - Diminution encombrement
 - Diminution réflexion
 - Augmentation profondeur de l'image
- Moniteurs noir et blanc
- Moniteurs couleurs



A computer monitor displaying a list of medical codes or terms in a grid format. The columns include codes such as ICD-9-CM, CPT, HCPCS, and DRG. The monitor is part of a larger workstation setup.

A computer monitor displaying a list of medical codes or terms in a grid format. The columns include codes such as ICD-9-CM, CPT, HCPCS, and DRG. The monitor is part of a larger workstation setup.



► Ouverture de session

► Réception

► Administration

HEALTH IMAGING
A BETTER VIEW OF LIFE.



Limitation de responsabilité | Copyright stman Kodak Company, 2003



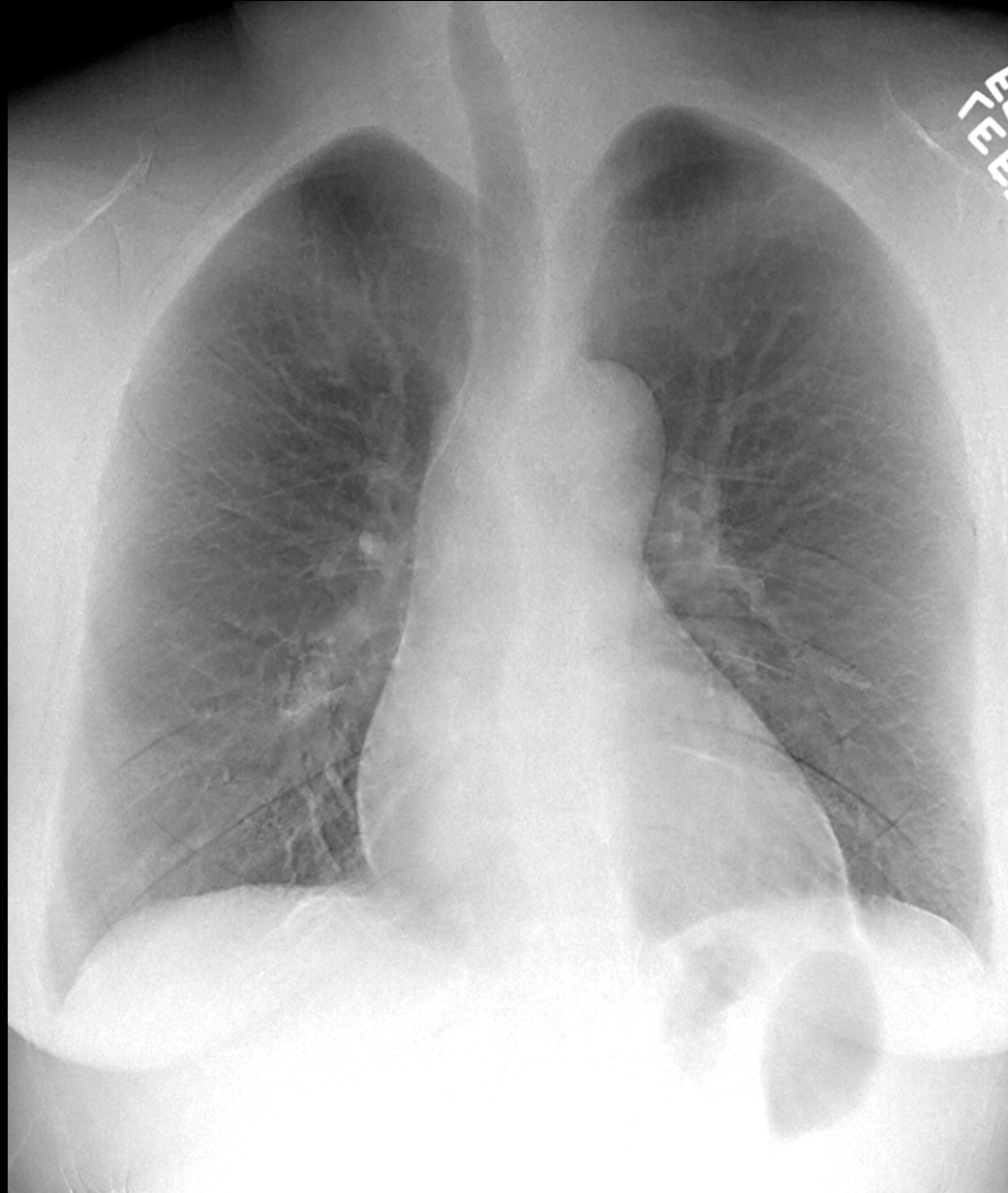
Imagerie de soustraction à double énergie

- 2 faisceaux à énergie différente
- Bas kV, haut kV
- Combinaison des 2 images
- Calcium
- Tissus mous
- Augmentation de détection des nodules pulmonaires

Figure 7a: Dual-energy subtraction radiography in healthy middle-aged woman



Figure 7b: Dual-energy subtraction radiography in healthy middle-aged woman



7c: Dual-energy subtraction radiography in healthy middle-aged woman

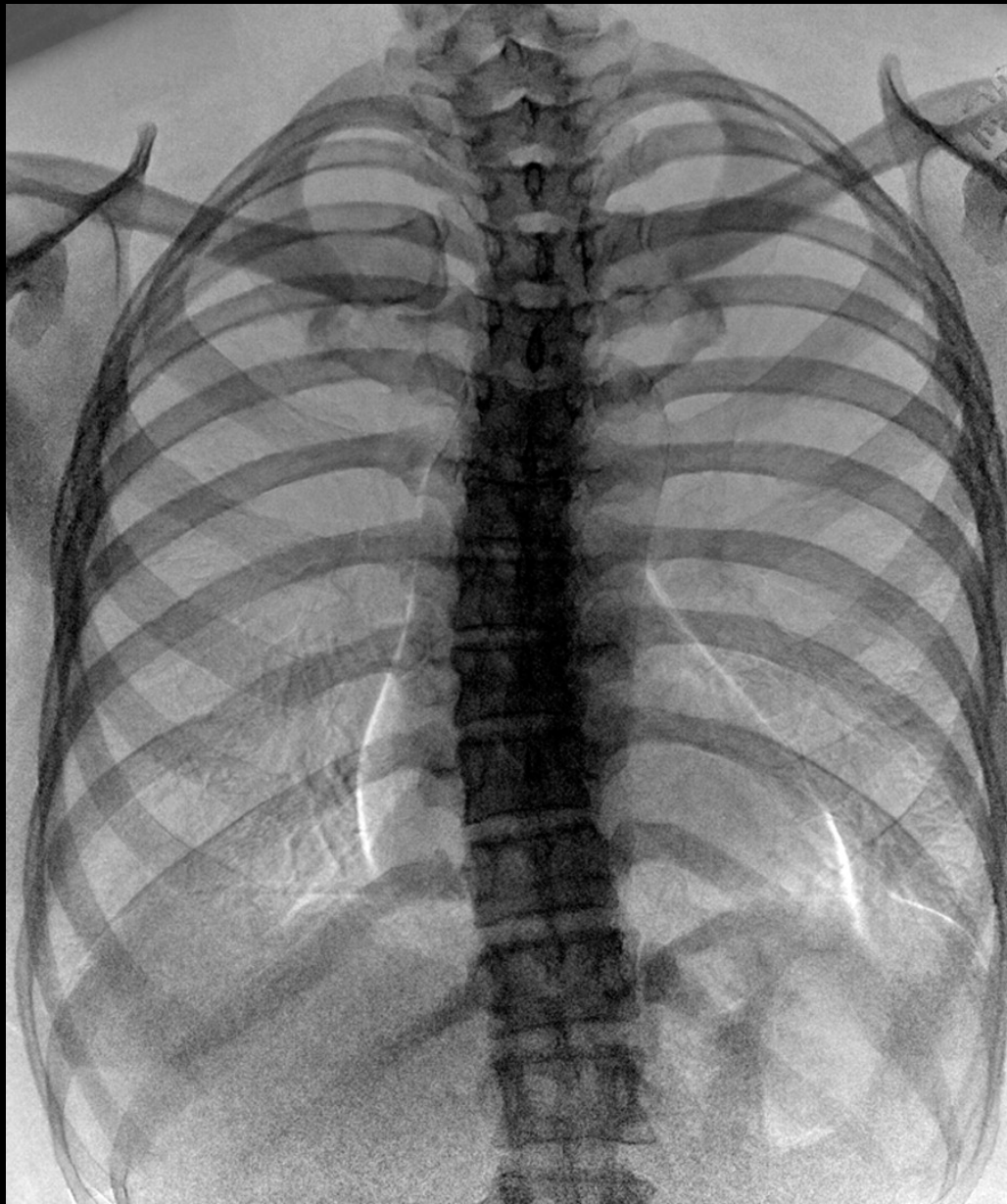


Figure 9a: Dual-energy subtraction radiography in a healthy middle-aged man

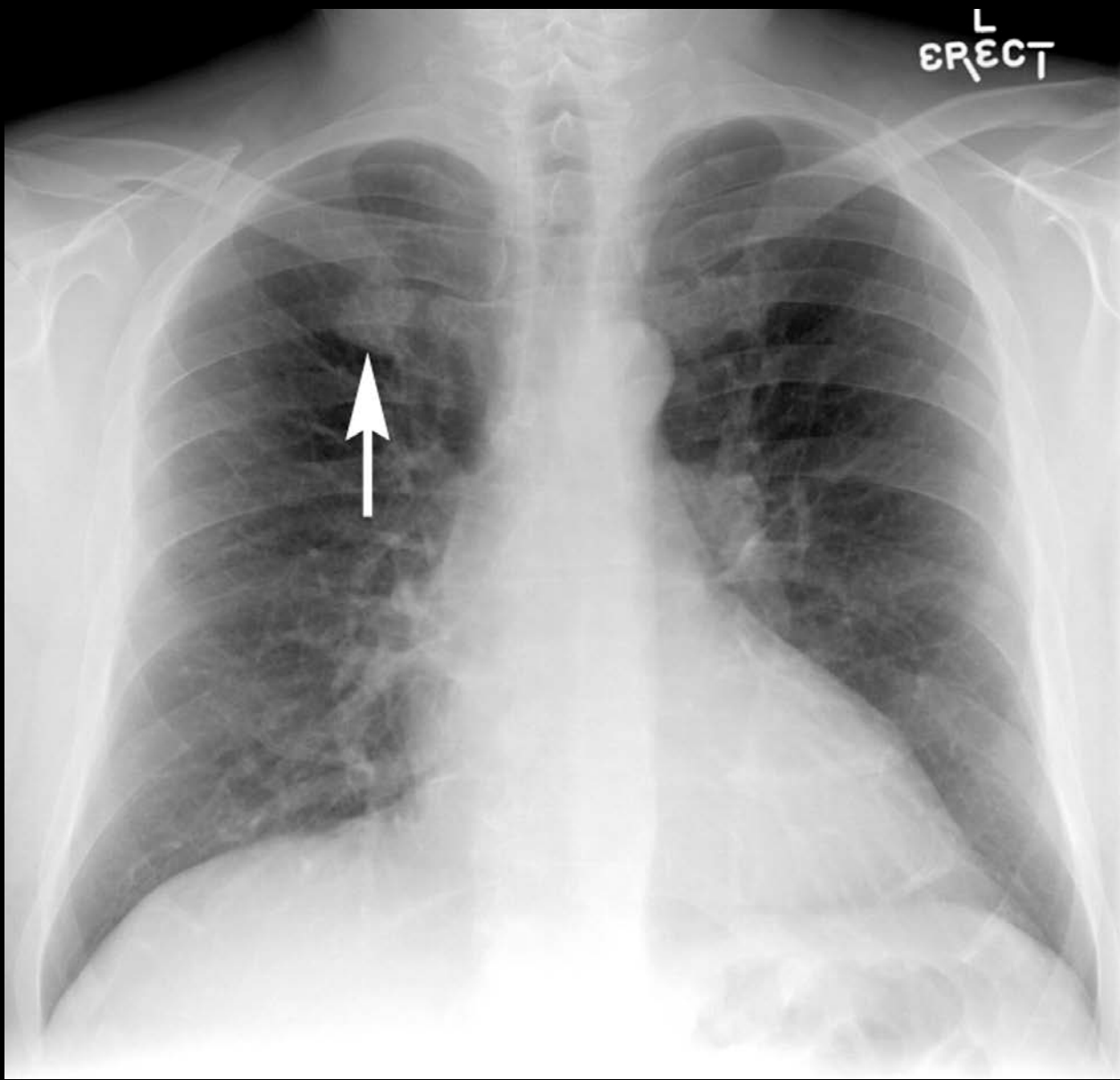
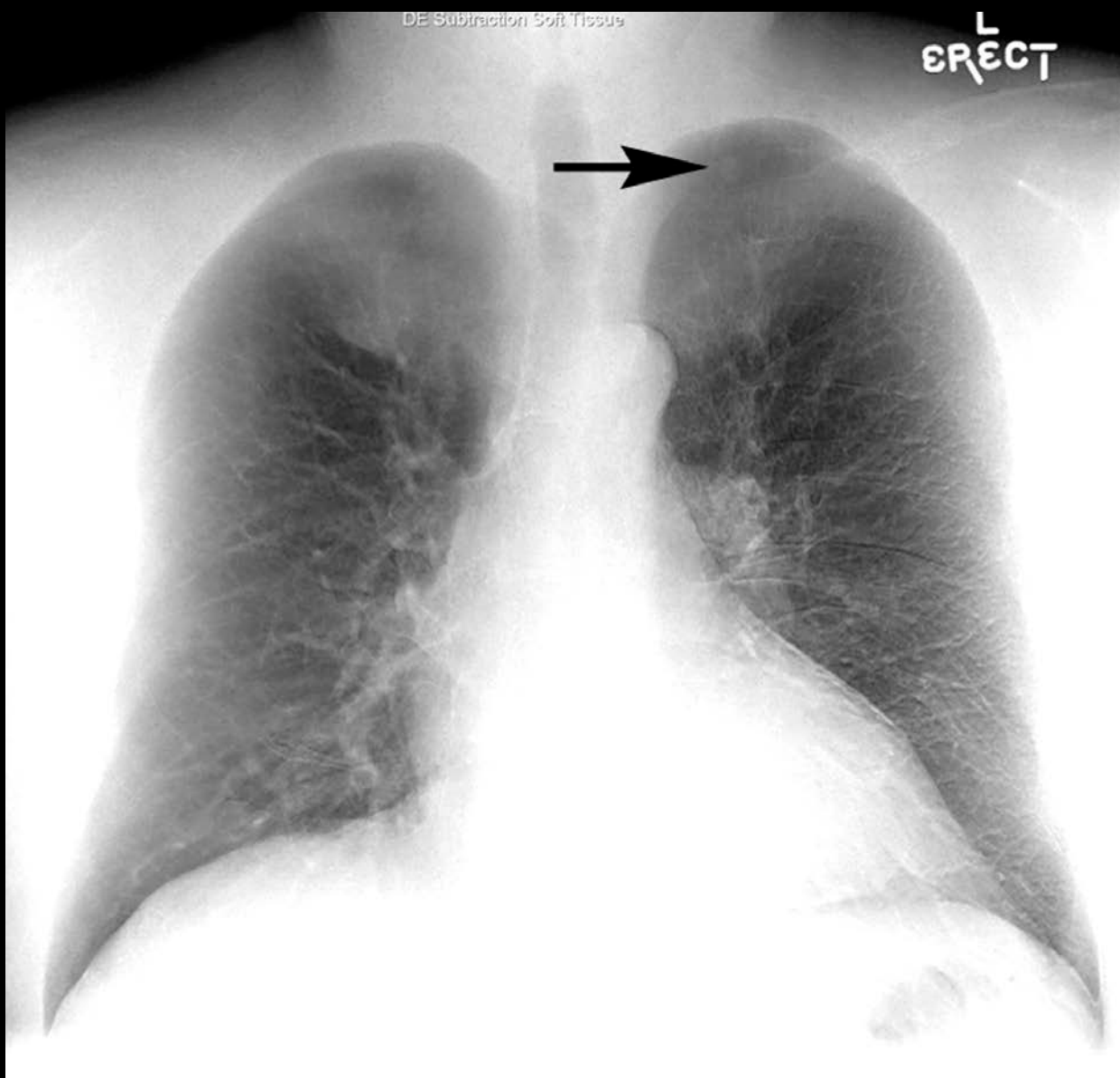


Figure 9b: Dual-energy subtraction radiography in a healthy middle-aged man



9c: Dual-energy subtraction radiography in a healthy middle-aged man

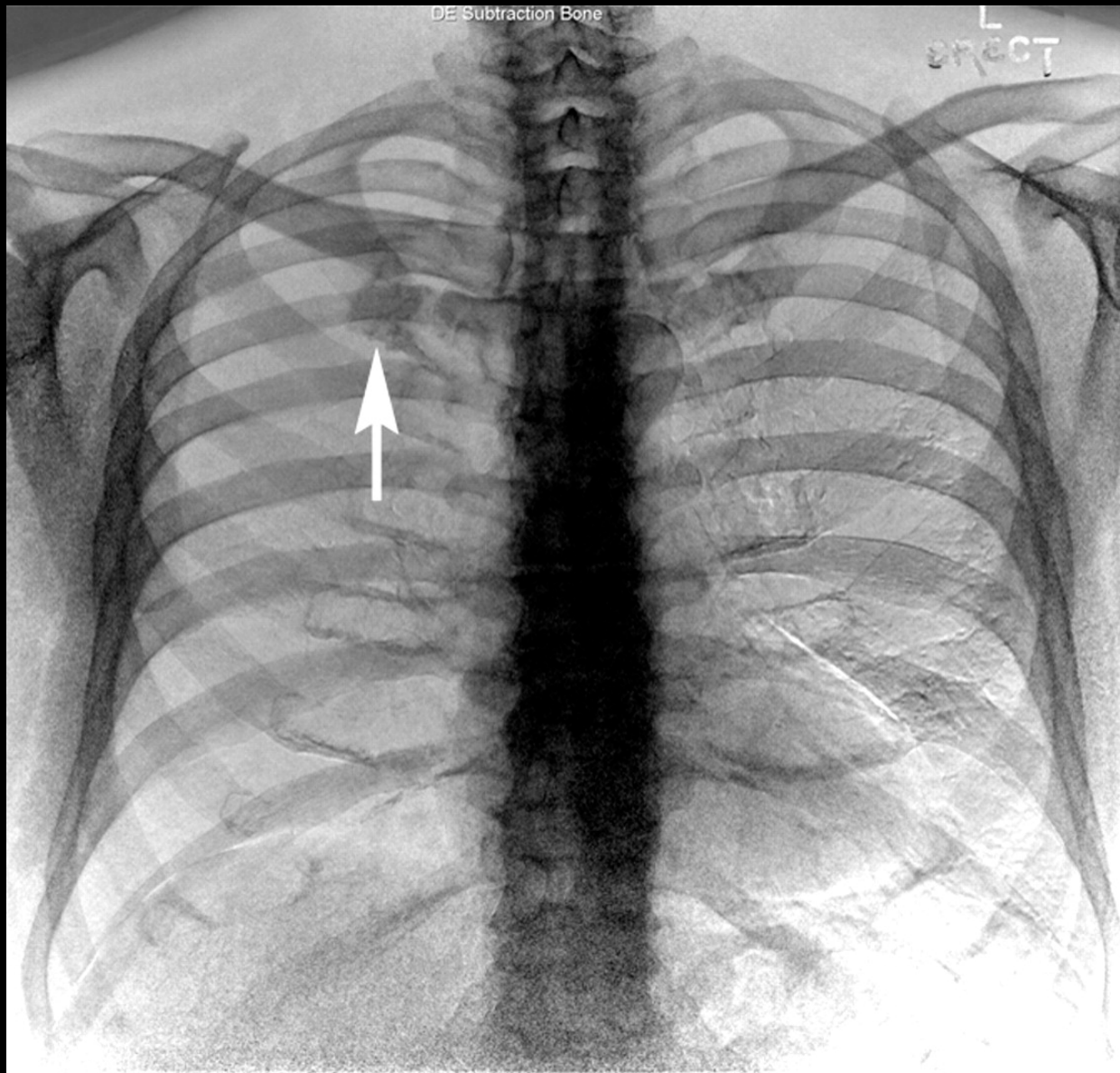


Figure 10b: Dual-energy subtraction radiography in an elderly man

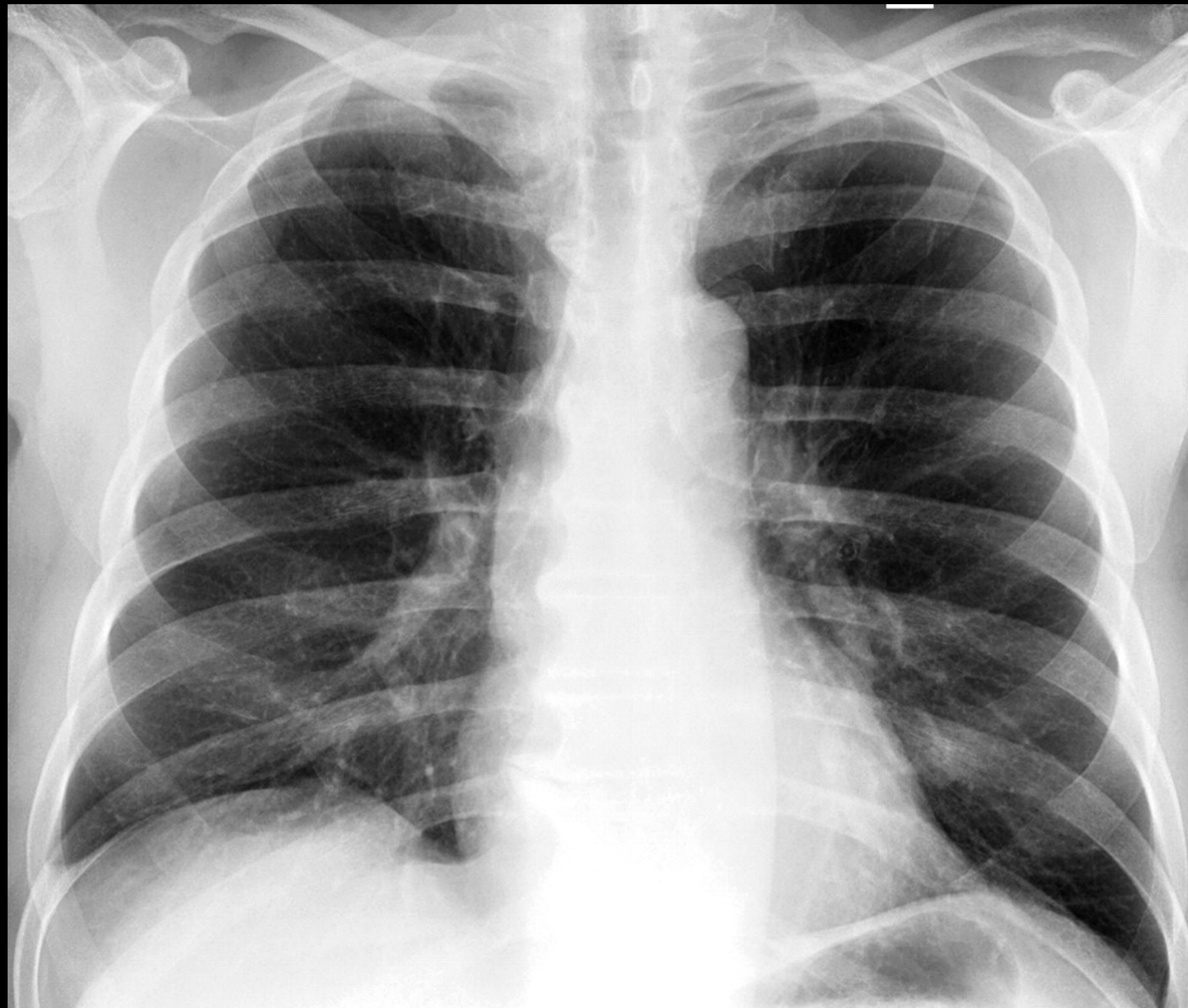
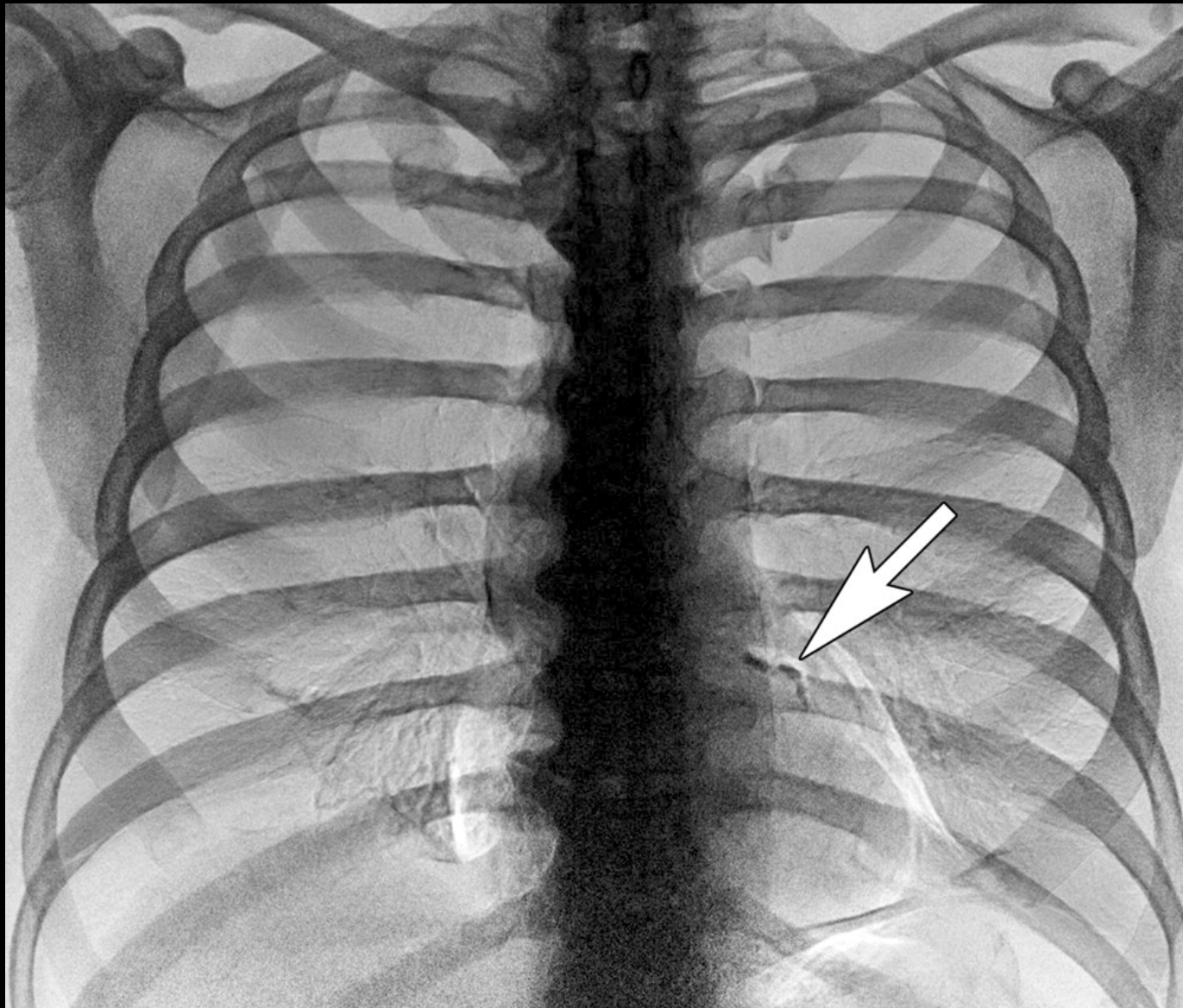


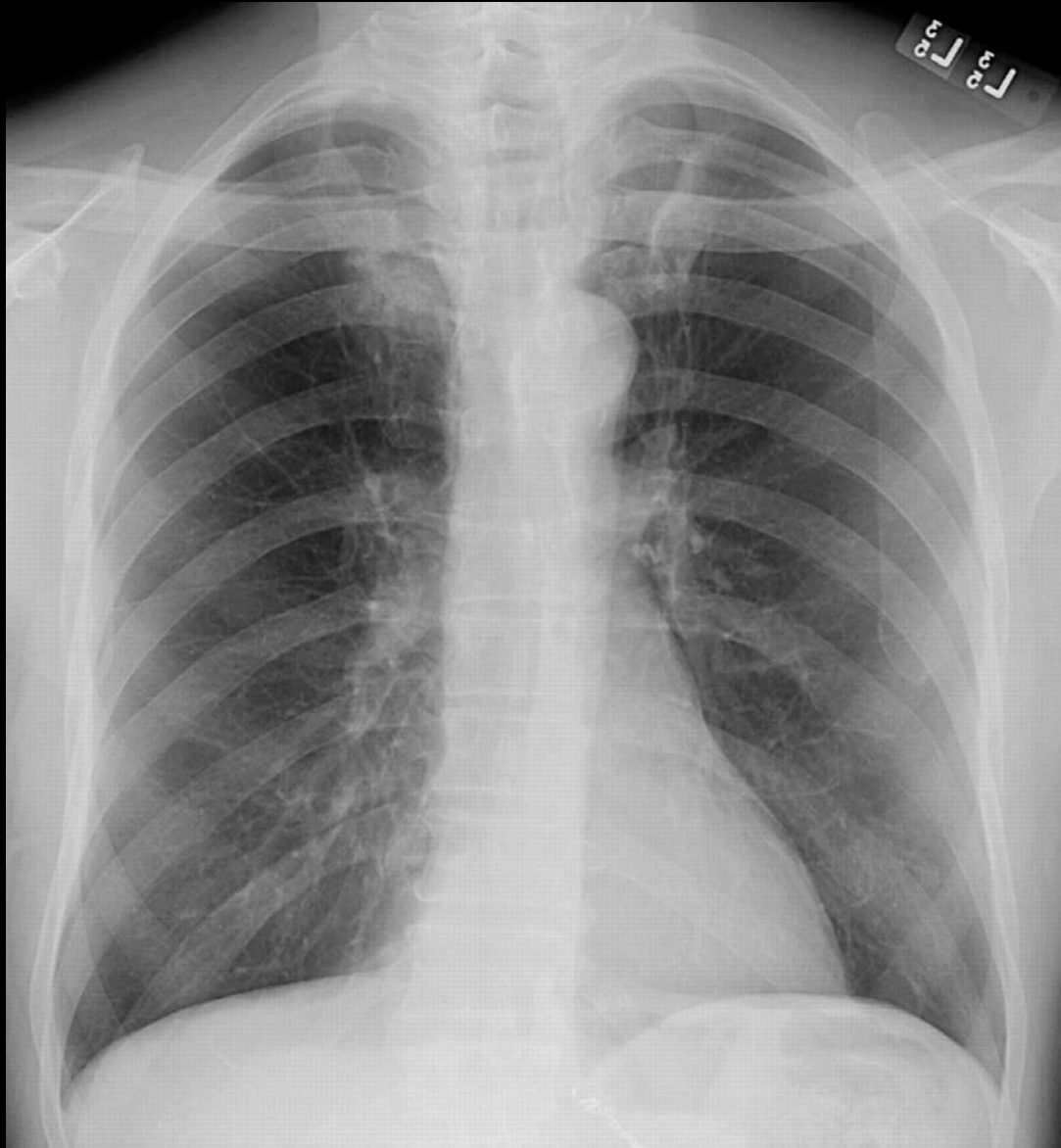
Figure 10a: Dual-energy subtraction radiography in an elderly man



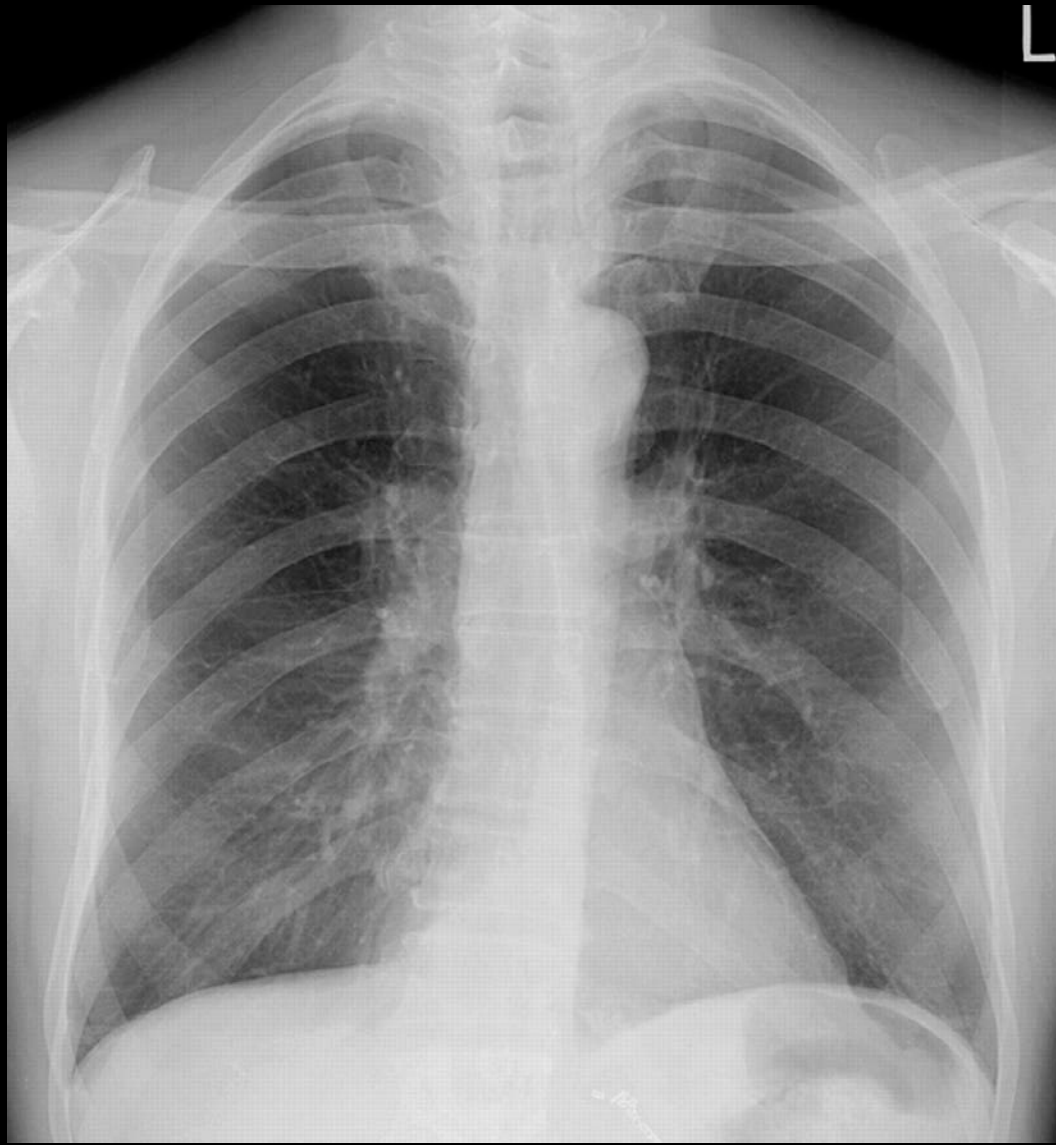
Imagerie de soustraction temporelle

- Soustraction d'une image radiographique antérieure à l'actuelle
- Variation de position générant artefacts
- Gris uniforme là où il n'existe pas de modification
- Résultats préliminaires: amélioration de perception des nodules

Figure 11a: Temporal subtraction radiography in a middle-aged patient



11b: Temporal subtraction radiography in a middle-aged patient



11c: Temporal subtraction radiography in a middle-aged patient

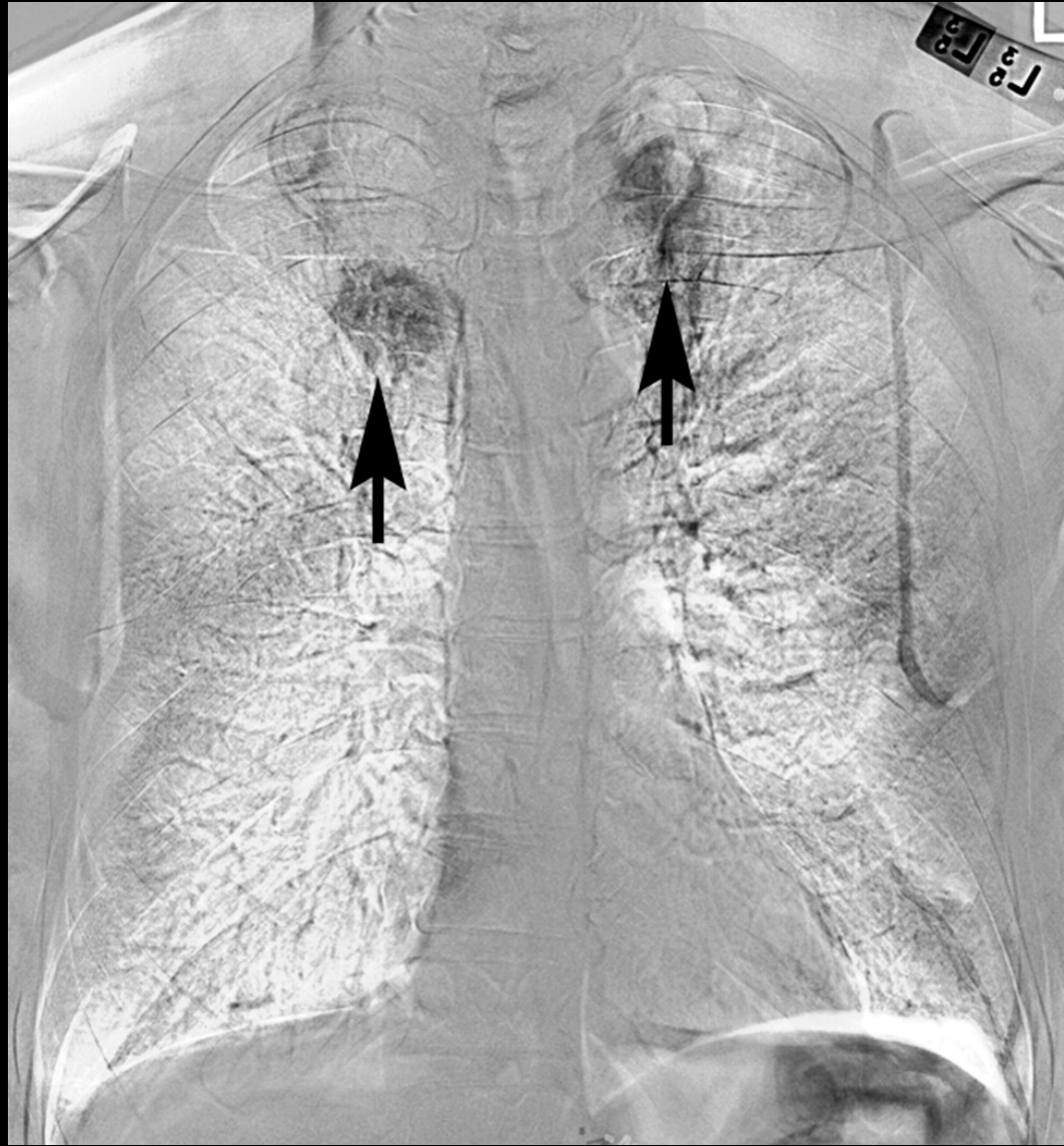


Figure 11d: Temporal subtraction radiography in a middle-aged patient



Figure 11e: Temporal subtraction radiography in a middle-aged patient



Tomosynthèse digitale

- Tomographie digitale
- Multiples plans acquis en 1 passage
- Plans arbitraires
- Différents algorithmes pour rendre l'image plus nette
- Elimination des structures en dehors du plan
- Meilleure détection des nodules

Figure 12a: Images in middle-aged woman with history of right partial mastectomy for breast cancer who presented for routine follow-up (same patient as in Fig 4)

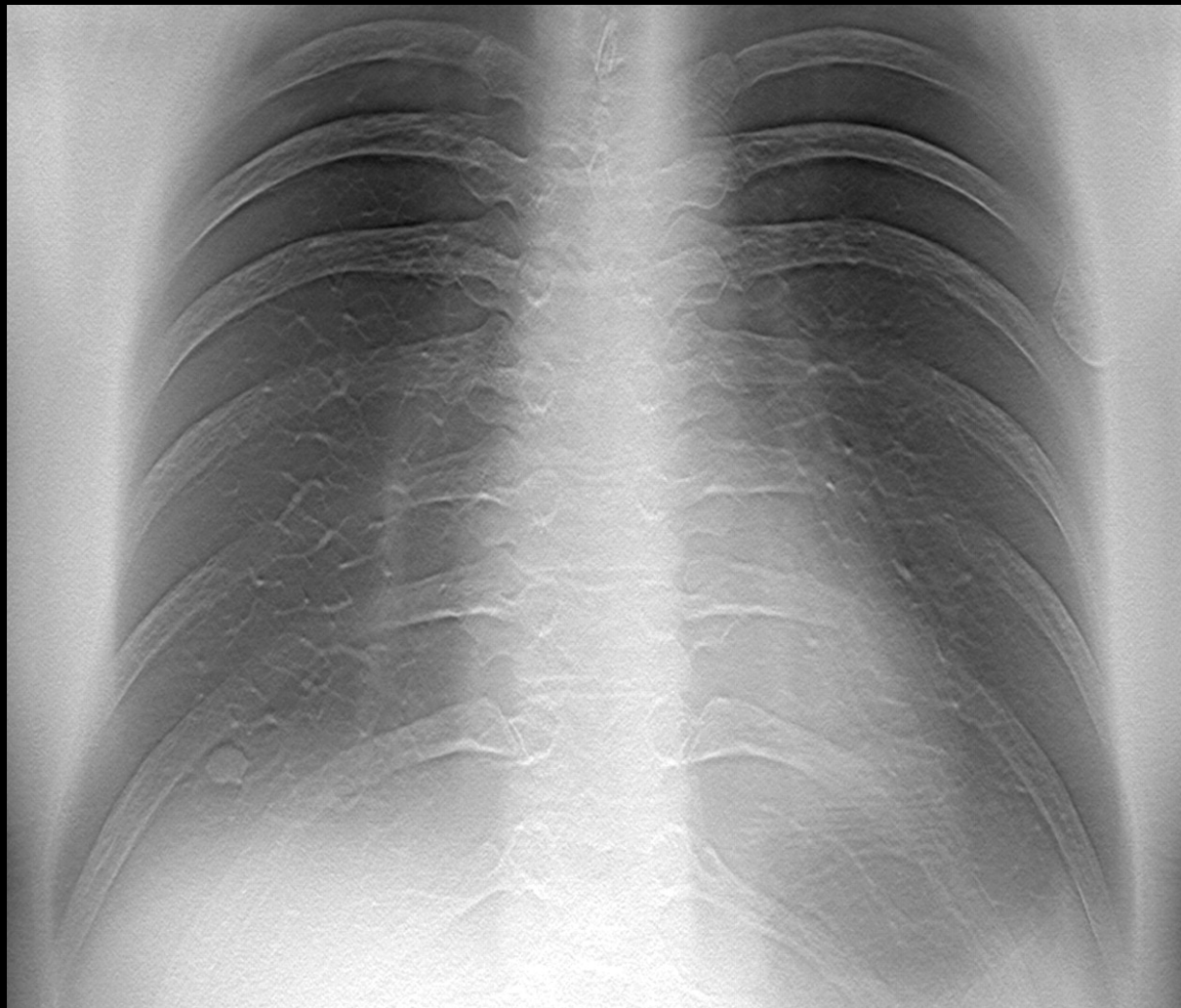


Figure 12b: Images in middle-aged woman with history of right partial mastectomy for breast cancer who presented for routine follow-up (same patient as in Fig 4)

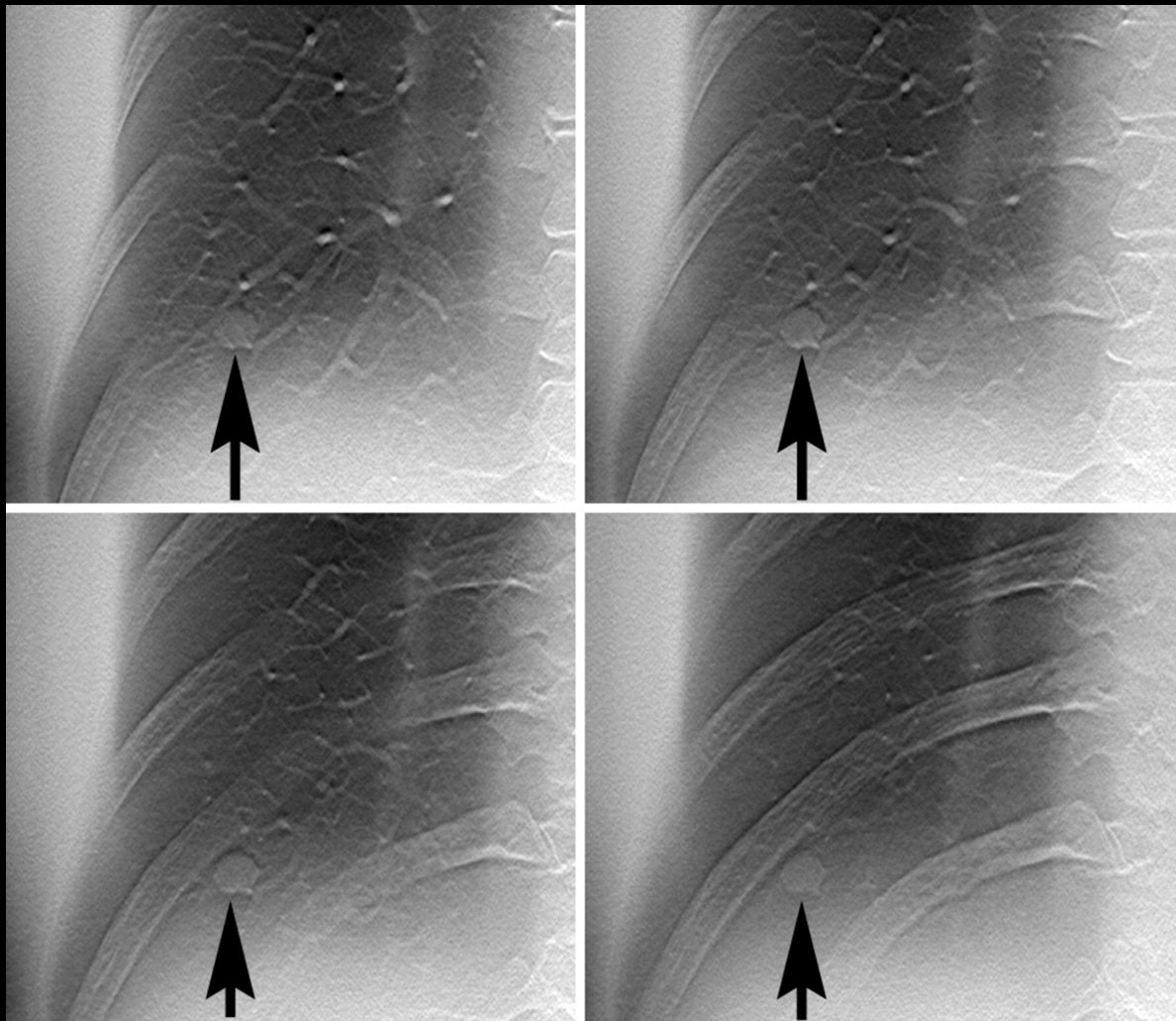


Figure 12c: Images in middle-aged woman with history of right partial mastectomy for breast cancer who presented for routine follow-up (same patient as in Fig 4)

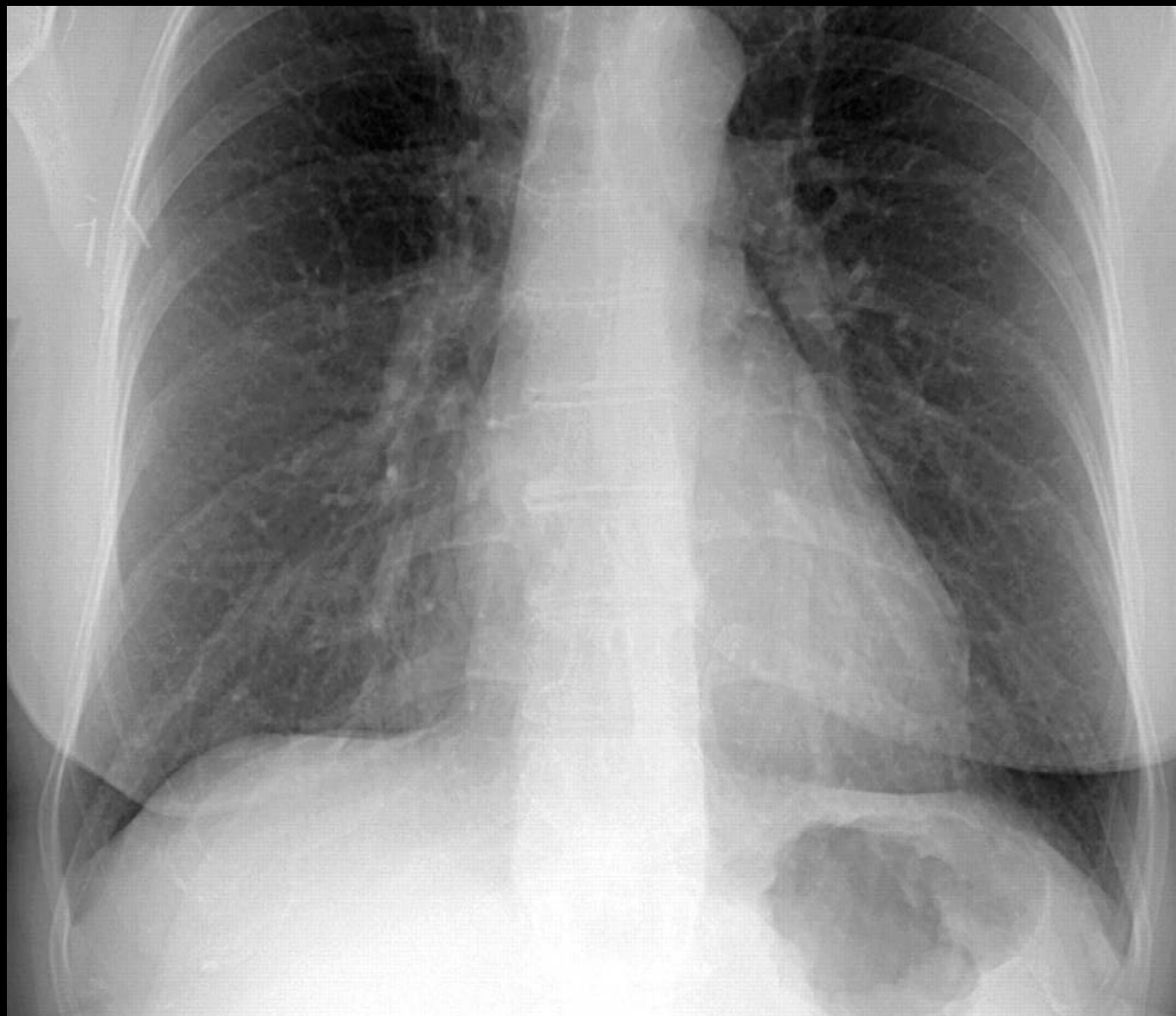


Figure 13a: Images in middle-aged man

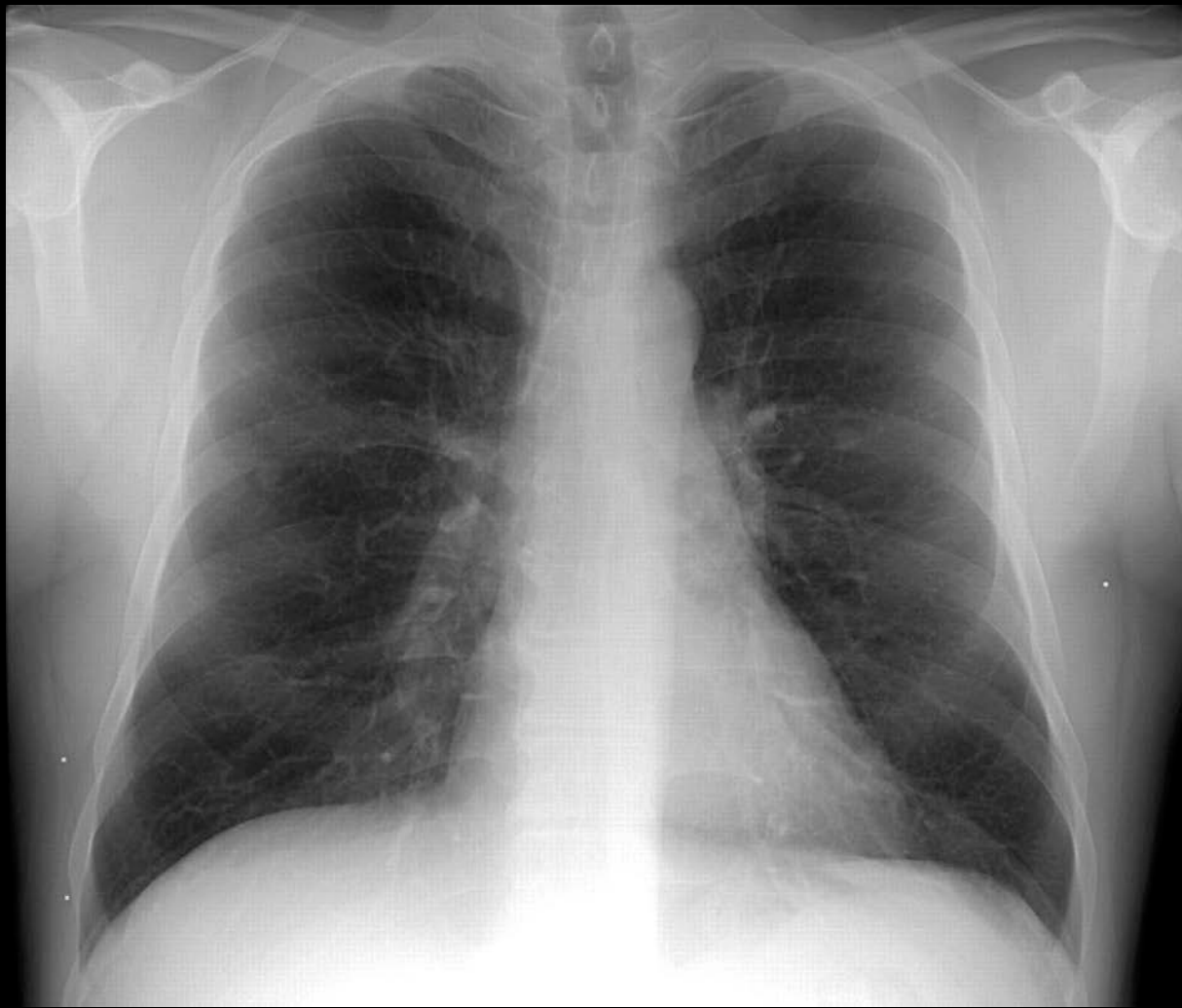


Figure 13b: Images in middle-aged man

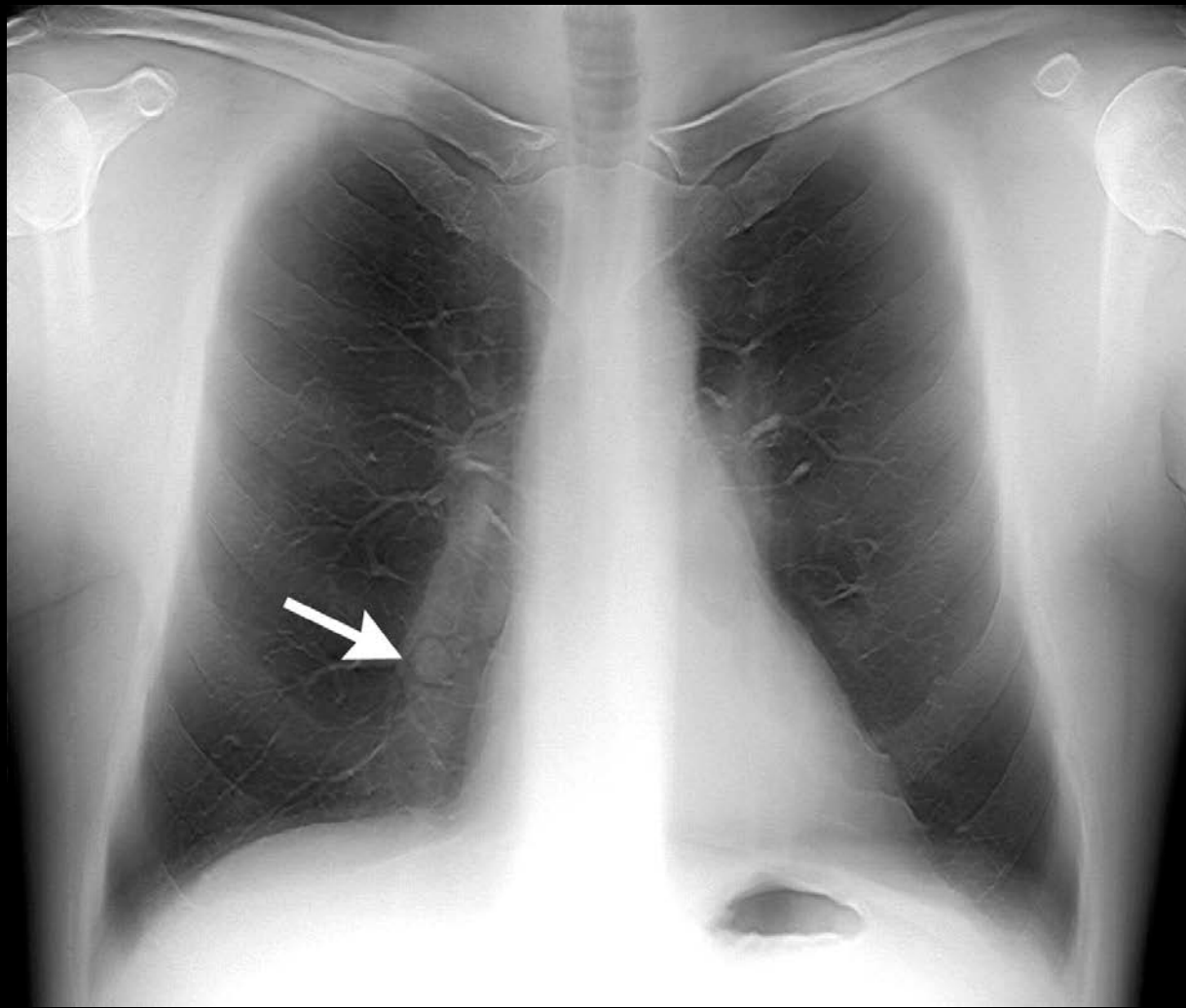


Figure 13c: Images in middle-aged man

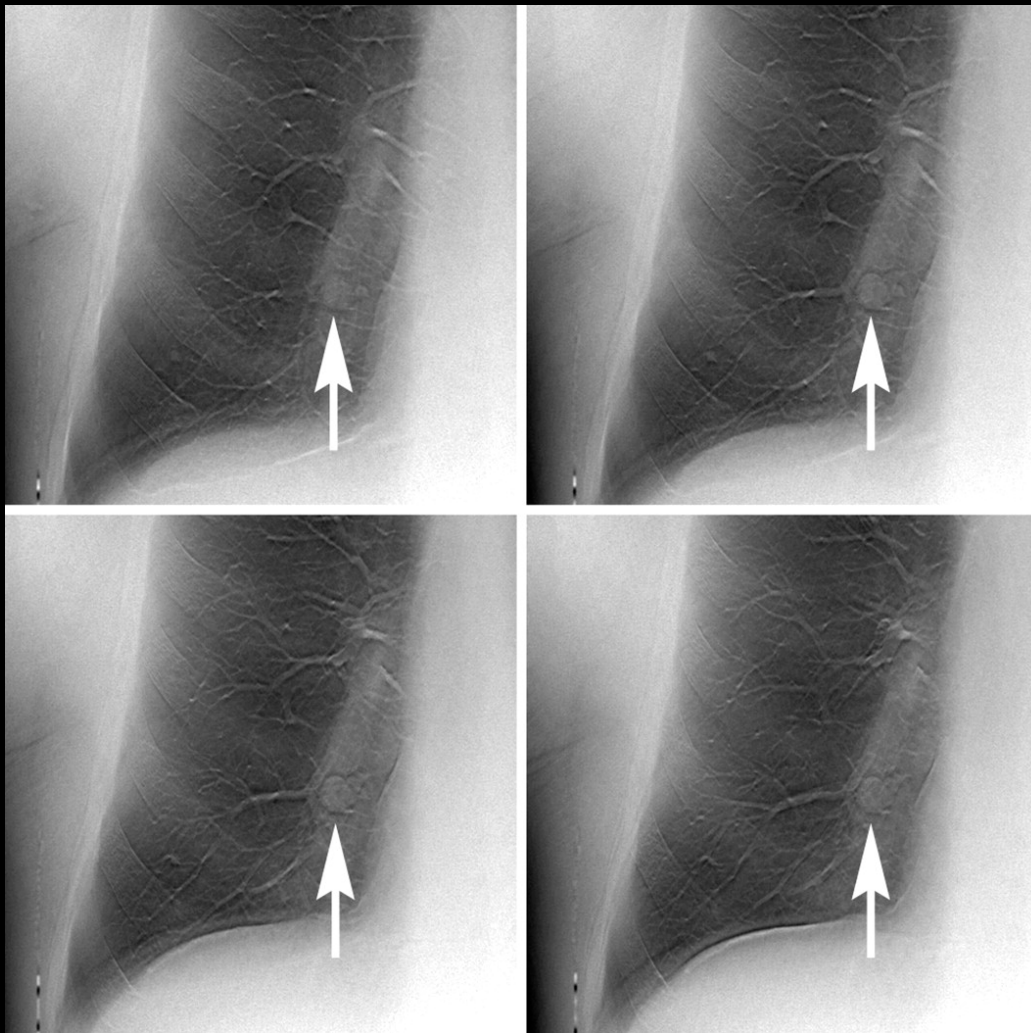


Figure 14a: Images in middle-aged man

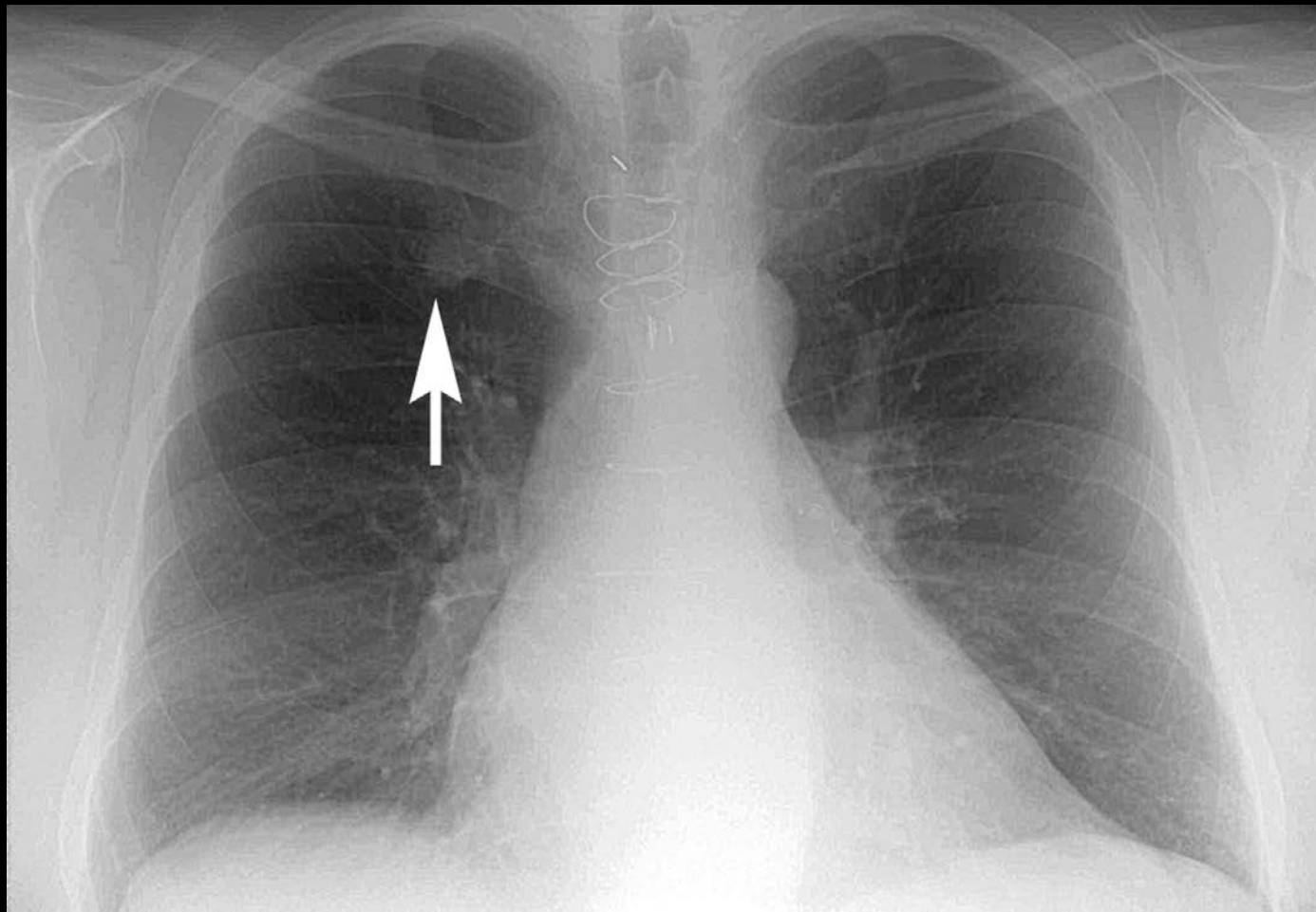
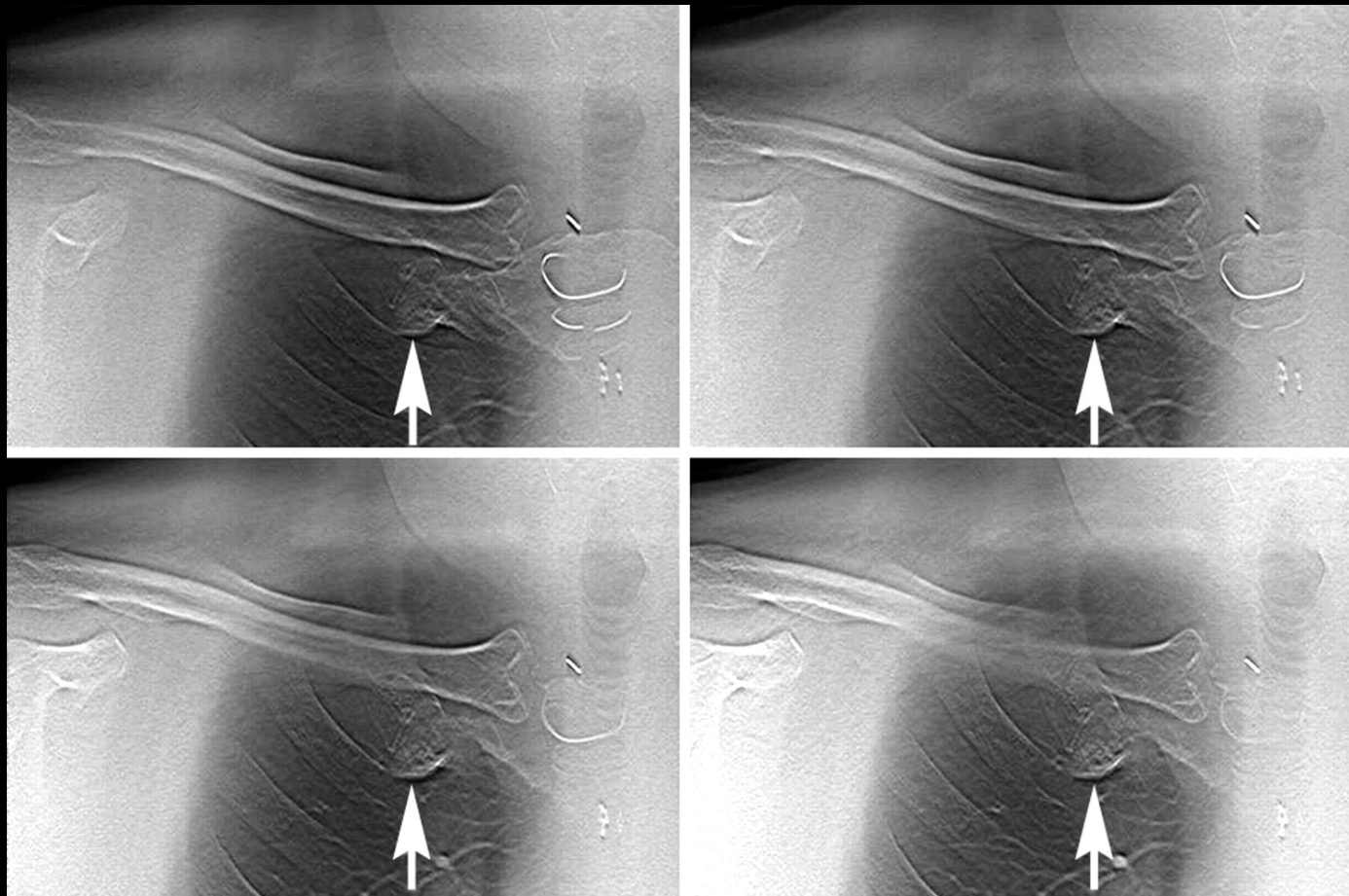


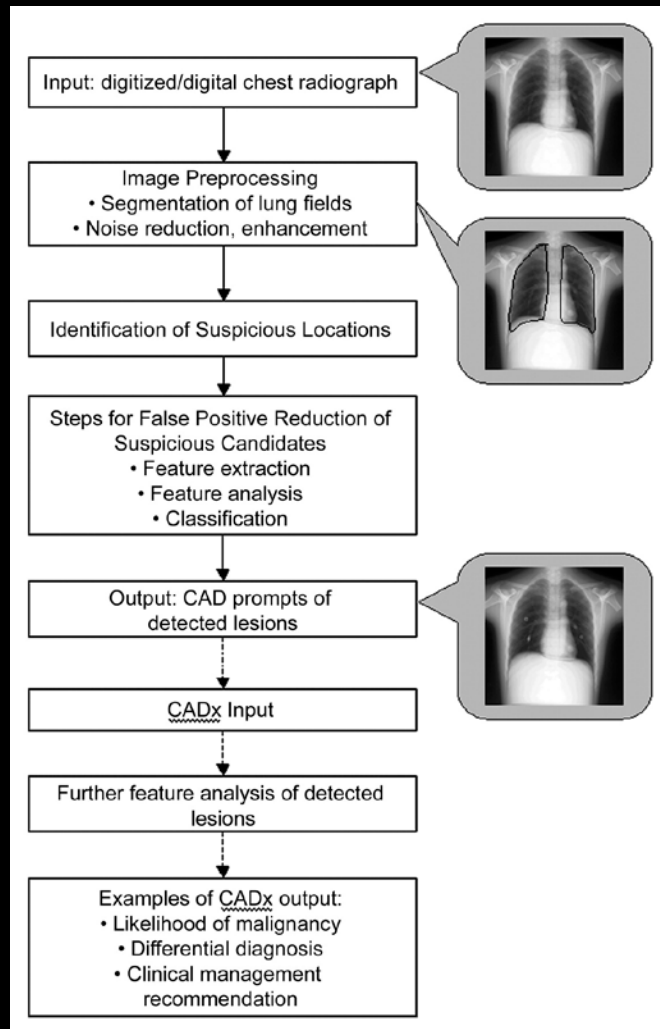
Figure 14b: Images in middle-aged man



Outils d'aide à la détection

- Déetecte des anomalies de façon automatique
- Agit comme un second lecteur
- Améliore la performance du radiologue
- Détection des nodules principalement
 - Mesure de l'ICT
 - Caractérisation des lésions infiltrantes pulmonaires

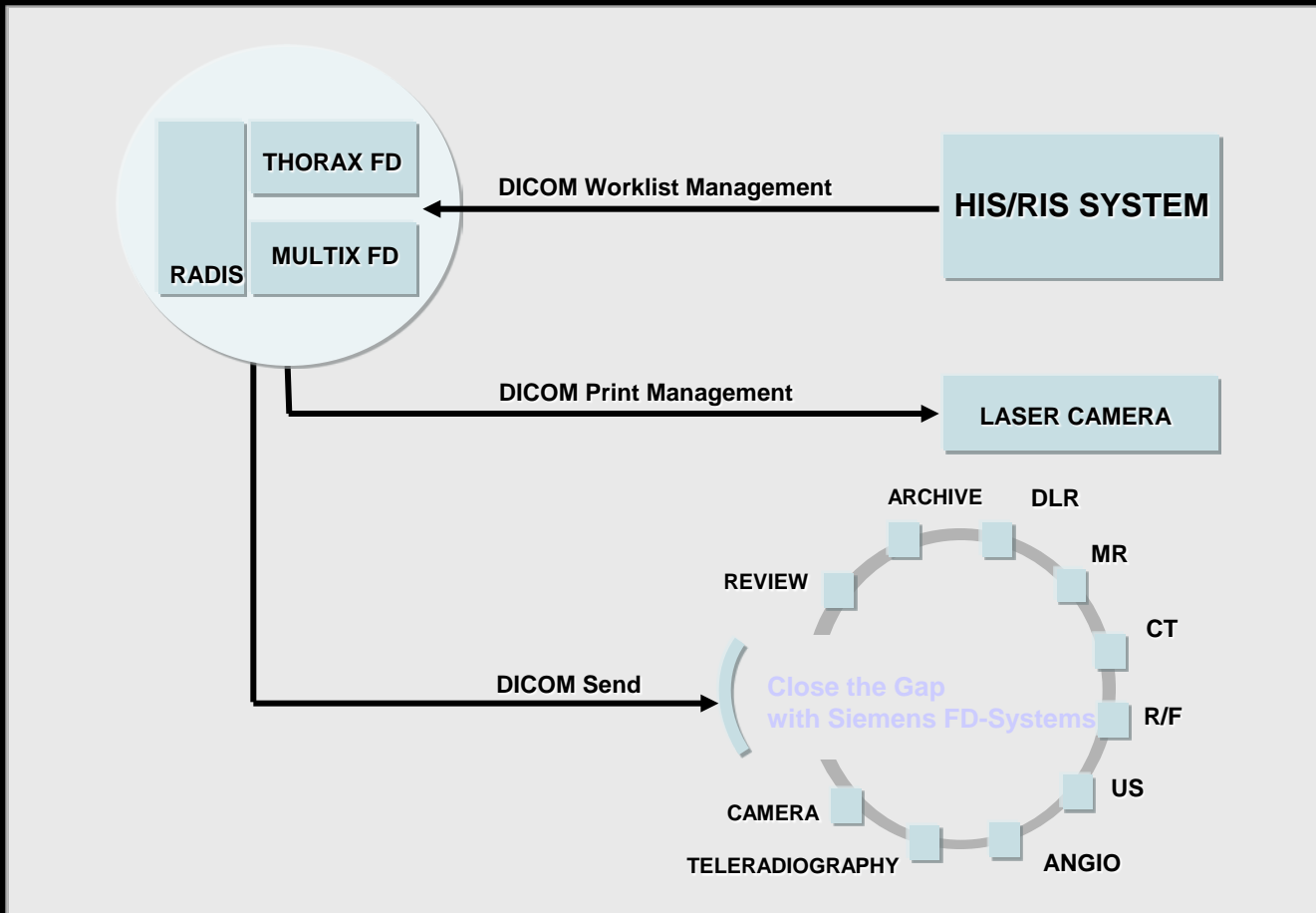
Figure 15: Flow diagram illustrates operation of CAD system



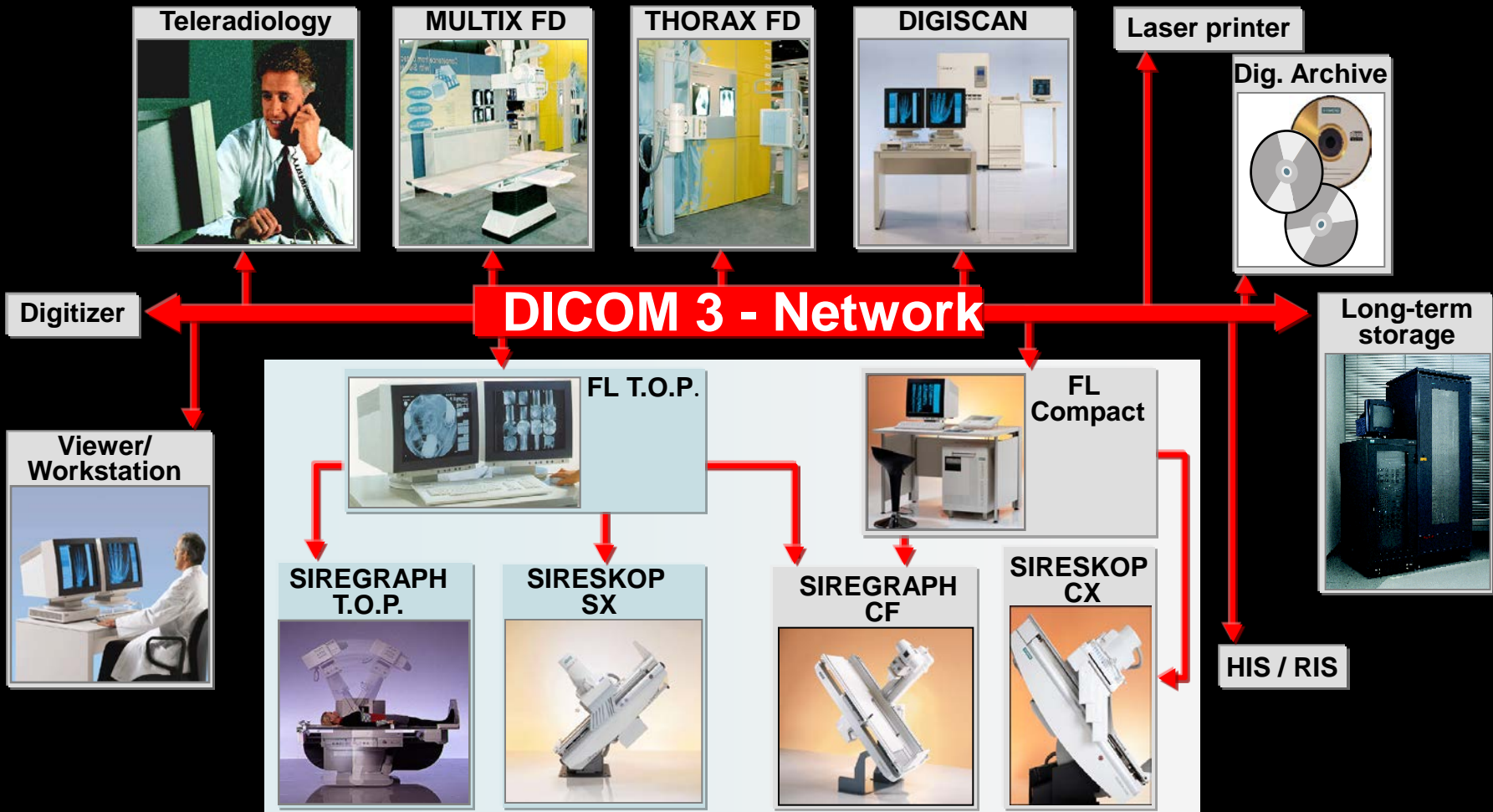
Avantages de l'image digitale

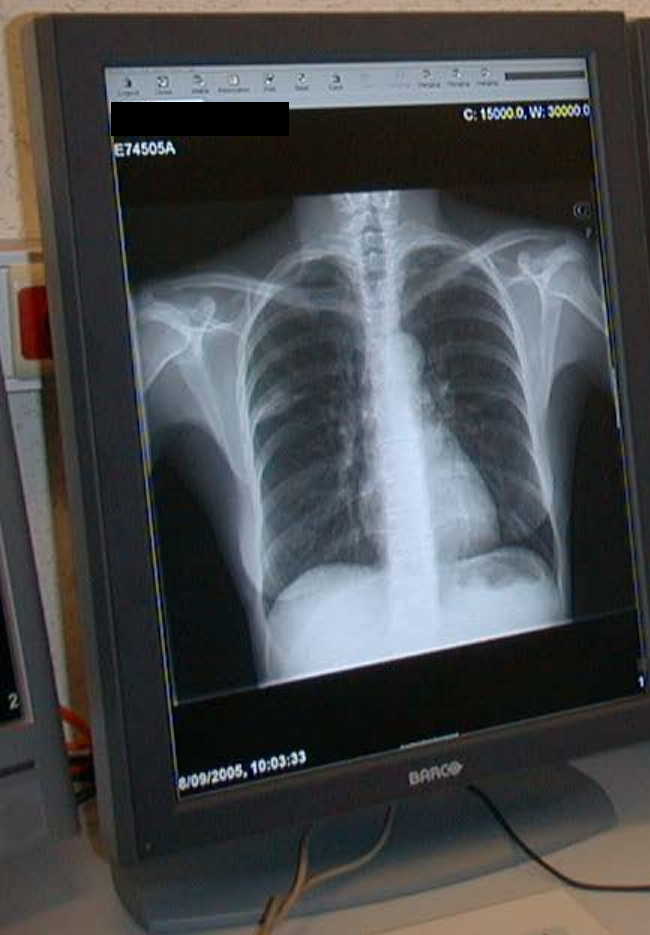
- Optimisation de l'affichage sans modifier les paramètres d'acquisition
- Post-processing
- Archivage électronique
- Augmentation workflow
- Acquisition rapide de multiples images

Networking with DICOM



Digital Network for Radiology



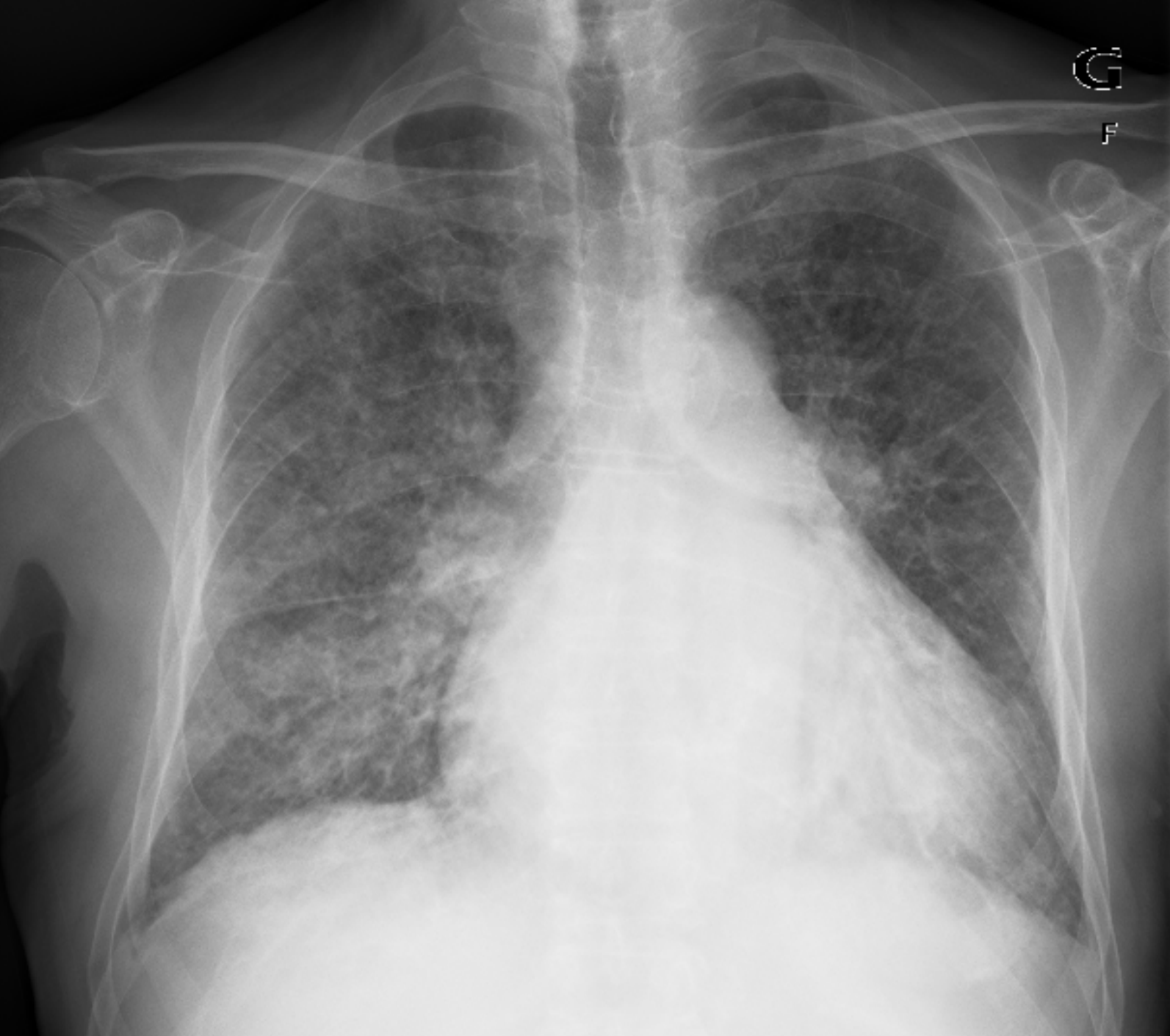


Side by side comparison of 2 modalities



Flat detector panel

40-MDCT



G

F



2